

LATITUDE INTEGRATION IDCO-SPECIFICATIE

LATITUDE™ NXT

LATITUDE NXT Patiëntenmanagementsysteem

Outdated version. Do not use.
Version überholt. Nicht verwenden.
Version obsolète. Ne pas utiliser.
Versión obsoleta. No utilizar.
Versione obsoleta. Non utilizzare.
Verouderde versie. Niet gebruiken.
Föråldrad version. Använd ej.
Παλιά έκδοση. Μην την χρησιμοποιείτε.
Versão obsoleta. Não utilize.
Forældet version. Må ikke anvendes.
Zastaralá verzia. Nepoužívať.
Utdatert versjon. Skal ikke brukes.
Zastaraná verzia. Nepoužívať.
Elavult verzió. Ne használja!
Wersja nieaktualna. Nie używać.

Outdated version. Do not use.
Version überholt. Nicht verwenden.
Version obsolète. Ne pas utiliser.
Versión obsoleta. No utilizar.
Versione obsoleta. Non utilizzare.
Verouderde versie. Niet gebruiken.
Föråldrad version. Använd ej.
Παλιά έκδοση. Μην την χρησιμοποιείτε.
Versão obsoleta. Não utilize.
Forældet version. Må ikke anvendes.
Zastaralá verze. Nepoužívat.
Utdatert versjon. Skal ikke brukes.
Zastaraná verzia. Nepoužívať.
Elavult verzió. Ne használja!
Wersja nieaktualna. Nie używać.

OVERZICHT

Het LATITUDE-systeem voor patiëntbewaking op afstand van Boston Scientific genereert IDCO-berichten (Implantable Device - Cardiac - Observation) op basis van de specificaties en definities uit dit document. De berichten zijn in overeenstemming met het profiel voor Integrating the Healthcare Enterprise (IHE) Patient Care Device (PCD) Technical Framework IDCO. Deze berichten worden gebruikt om patiëntgegevens over te brengen naar EMR- of CIS-systemen (respectievelijk Electronic Medical Record en Clinical Information System).

Dit document is bedoeld voor klanten van Boston Scientific (BSC) LATITUDE die (1) IDCO-berichten integreren in een EMR-systeem en (2) gebruikmaken van een EMR- of CIS-systeem om patiëntgegevens te volgen en te beheren. De eerste paragraaf van dit document ("LATITUDE IDCO-berichtsamenstelling") is hoofdzakelijk bedoeld voor technisch personeel dat zich bezighoudt met berichtintegratie. Het tweede deel is voornamelijk bedoeld voor de arts als extra informatie bij de Boston Scientific-versie van de gegevens in het bericht.

OPMERKINGEN: *Er wordt aangenomen dat de lezers van deze paragraaf bekend zijn met terminologie, specificatiesyntax, gegevenstypen, berichtstructuren en semantiek voor IDCO-berichten met de HL7- en IDCO-standaard. Meer informatie vindt u via de volgende links:*

- www.hl7.org voor HL7-berichtgeving
- www.ihe.net voor IDCO-berichtgeving
- http://ihe.net/Technical_Framework/index.cfm#pcd for PCD-09 Technical Framework (bestaat uit Vol. 1, 2 en 3)
- <http://standards.ieee.org/findstds/standard/11073-10103-2012.html> voor IEEE IDCO-nomenclatuur

Outdated version. Do not use.
Version überholt. Nicht verwenden.
Version obsolète. Ne pas utiliser.
Versión obsoleta. No utilizar.
Versione obsoleta. Non utilizzare.
Verouderde versie. Niet gebruiken.
Föråldrad version. Använd ej.
Παλιά έκδοση. Μην την χρησιμοποιείτε.
Versão obsoleta. Não utilize.
Forældet version. Må ikke anvendes.
Zastaralá verze. Nepoužívat.
Utdatert versjon. Skal ikke brukes.
Zastaraná verzia. Nepoužívať.
Elavult verzió. Ne használja!
Wersja nieaktualna. Nie używać.

INHOUDSTABEL

LATITUDE IDCO-BERICHTENSPECIFICATIE	1-1
HOOFDSTUK 1	
Latitude IDCO-berichtenspecificatie	1-2
Segmentstructuur.....	1-2
MSH-segmentstructuur.....	1-2
PID-segmentstructuur	1-2
Standaardpatiëntcode IDCO (eerste code in de lijst).....	1-2
Patiënt-id Latitude (tweede code in de lijst).....	1-2
PV1-segmentstructuur.....	1-3
PV2-segmentstructuur.....	1-3
OBR-segmentstructuur.....	1-3
OBX-segmentstructuur.....	1-3
Outputparameters.....	1-4
NTE-segmentstructuur.....	1-4
Rapporten.....	1-4
Gepresenteerd EGM rapport.....	1-4
Gecombineerd follow-uprapport.....	1-4
Rapport Aritmie-logboek.....	1-4
HF PERSPECTIV™-rapport.....	1-5
Namen van rapporten in het bericht.....	1-5
Basistermen.....	1-5
GEGEVENS VAN GEÏMPLANTEERDE APPARATEN CONVERTEREN NAAR IDCO- BERICHTEN	2-1
HOOFDSTUK 2	
Batterijstatus.....	2-2
SET_BRADY_SENSOR_TYPE.....	2-2
Episodemapping	2-2
Tellermapping	2-3
Leadconfiguratiemapping	2-4
Systeembeperkingen.....	2-5
Definities van alarmen en waarschuwingen.....	2-6
Rapporten	2-6
VOORBEELD VAN IDCO-BESTANDEN	3-1
HOOFDSTUK 3	
Voorbeeld van IDCO-bestanden.....	3-2

Voorbeeldbericht 1 — S-ICD-Apparaat	3-2
Voorbeeldbericht 2 — Overige Apparaten (Niet S-ICD)	3-3
SYMBOLEN OP STICKERS	A-1
BIJLAGE A	

Outdated version. Do not use.
Version überholt. Nicht verwenden.
Version obsolète. Ne pas utiliser.
Versión obsoleta. No utilizar.
Versione obsoleta. Non utilizzate.
Verouderde versie. Niet gebruiken.
Föråldrad version. Använd ej.
Παλιά έκδοση. Μην την χρησιμοποιείτε.
Versão obsoleta. Não utilize.
Förældet version. Må ikke anvendes.
Zastaralá verze. Nepoužívat.
Utdatert versjon. Skal ikke brukes.
Zastaraná verzia. Nepoužívať.
Elavult verzió. Ne használja!
Wersja nieaktualna. Nie używać.

LATITUDE IDCO-BERICHTENSPECIFICATIE

HOOFDSTUK 1

In dit hoofdstuk worden de volgende onderwerpen beschreven:

- “Latitude IDCO-berichtenspecificatie” op pagina 1-2
- “Segmentstructuur” op pagina 1-2
- “MSH-segmentstructuur” op pagina 1-2
- “PID-segmentstructuur” op pagina 1-2
- “PV1-segmentstructuur” op pagina 1-3
- “PV2-segmentstructuur” op pagina 1-3
- “OBR-segmentstructuur” op pagina 1-3
- “OBX-segmentstructuur” op pagina 1-3
- “Outputparameters” op pagina 1-4
- “NTE-segmentstructuur” op pagina 1-4
- “Rapporten” op pagina 1-4
- “Basistermen” op pagina 1-5

LATITUDE IDCO-BERICHTENSPECIFICATIE

Het LATITUDE IDCO-bericht is een PCD-09-bericht op basis van IHE PCD Technical Framework Revision 3.0, 11 oktober 2013. Conform het technische kader is het bericht een standaard ongevraagd HL7 v2.6-bericht voor orders en observaties met observaties die zijn uitgevoerd door het geïmplanteerde apparaat en die zijn gecodeerd met behulp van de ISO/IEEE 11073-10103:2014 IDC-nomenclatuur. In deze internationale standaard wordt een universeel model beschreven voor de interoperabiliteit van medische elektronische gegevens.

Waarden tussen aanhalingstekens in de waardekolommen in onderstaande tabellen geven aan dat het om harde codering gaat die altijd op deze manier wordt weergegeven. Bij waarden zonder aanhalingstekens gaat het om een voorbeeld of een beschrijving van de waarde.

SEGMENTSTRUCTUUR

Alle gegevens worden verzonden per PCD-09. De informatie in deze paragraaf is bedoeld om de BSC-output voor IDCO-berichten te definiëren. De informatie is niet volledig en is niet bedoeld om de IDCO-nomenclatuur verder te definiëren.

MSH-SEGMENTSTRUCTUUR

Het MSH-segment bevat informatie over de verzender en ontvanger van het bericht, het type bericht, een tijdstempel, enzovoort. Het is het eerste segment in elk IDCO-bericht.

ELEMENTNAAM	SEQ	SUB SEQ	WAARDE
Verzendtoepassing	3		"LATITUDE"
Verzenderinstelling	4		"BOSTON SCIENTIFIC"
Ontvangende instelling	6		LATITUDE-klinieknaam
Tekenset	18		"UNICODE UTF-8"

PID-SEGMENTSTRUCTUUR

Het PID-segment bevat patiëntcodegegevens zoals naam, id-codes, postcode, enzovoort. Deze informatie wordt gebruikt voor patiëntkoppeling.

LATITUDE stelt klinieken in staat om (optioneel) hun eigen patiënt-id toe te voegen aan het LATITUDE-systeem. De optionele patiënt-id wordt opgenomen in het geëxporteerde IDCO-bericht. Indien deze door de kliniek gedefinieerde patiënt-id wordt gebruikt, worden deze als tekst weergegeven in de patiëntcodelijst (reeks 3) na een tildesymbool (~).

Standaardpatiëntcode IDCO (eerste code in de lijst)

ELEMENTNAAM	SEQ	SUB SEQ	WAARDE
Patiëntcode	3		
Toewijzende instantie	3	4	"BSX"

Patiënt-id Latitude (tweede code in de lijst)

ELEMENTNAAM	SEQ	SUB SEQ	WAARDE
Patiëntcodelijst	3		
Identificatienummer	3	1	LATITUDE-patiënt-id

Toewijzende instantie	3	4	LATITUDE-klinieknaam
Code voor het soort code	3	5	"U"

Voorbeeld:

PID|1|model:N119/serial:123456^^^BSX^U~{Patiënt-id LATITUDE} ^^^{Naam LATITUDE-kliniek}^U||PatientLastName^VoornaamPatiënt ^^^^^^|19550116|U|...

PV1-SEGMENTSTRUCTUUR

Het segment PV1 (patiëntenbezoek) bevat informatie over de behandelend arts van de patiënt.

ELEMENTNAAM	SEQ	SUB SEQ	WAARDE
Patiëntklasse	2		"R"

PV2-SEGMENTSTRUCTUUR

Het segment PV2 (patiëntenbezoek 2) bevat informatie over de LATITUDE-groep van de patiënt.

ELEMENTNAAM	SEQ	SUB SEQ	WAARDE
Naam van organisatie (groep)	23	1	Naam van LATITUDE-groep Voorbeeld: Cardiologie
Identificatienummer (primaire of secundaire patiëntengroep)		3	1 Zie opmerking a

a. De waarde is "1" als het HL7-bestand is gekoppeld aan de primaire LATITUDE-groep; de waarde is "2" als het is gekoppeld aan de secundaire LATITUDE-groep.

OBR-SEGMENTSTRUCTUUR

OBR-segmenten zijn de sectiekoppen voor afzonderlijke OBX-segmenten voor opgevraagde informatie. Deze bevatten gegevens als tijdstempels, een rapportcode en een unieke door het systeem gegenereerde code.

ELEMENTNAAM	SEQ	SUB SEQ	VOORBEELDWAARDE
Universele servicecode	4		
Code		1	754053
Tekst		2	Zie opmerking a
Nummer observatiedatum/-tijd	7		20060429080005+0000 Zie opmerking b
Resultaatstatus	25		"F" Zie opmerking c

- a. De tekst voor de universele servicecode heeft de vorm MDC_IDC_ENUM_SESS_TYPE_{sessietype} (bijv. MDC_IDC_ENUM_SESS_TYPE_RemoteScheduled).
- b. Observatiedatum/-tijd is de tijdstempel voor het moment waarop het geïmplanteerde apparaat is opgevraagd. De tijdstempel maakt gebruik van de tijdzone die is ingesteld voor de patiënt.
- c. Resultaatstatus is "F" (eindresultaten).

OBX-SEGMENTSTRUCTUUR

OBX-segmenten bevatten gegevens die zijn verzameld gedurende de recentste apparaatopvraging.

ELEMENTNAAM	SEQ	SUB SEQ	WAARDE
Resultaatstatus observatie	11		"F" Zie opmerking a
Datum/tijd van de observatie	14		20060317170000+0000 Zie opmerking b

- a. Resultaatstatus is "F" (eindresultaten).
b. De datum van de meting wordt vermeld als de datum van de meting afwijkt van de observatiedatum in de OBR.

OUTPUTPARAMETERS

- Tekenreeksen worden verzonden in de taal die is geconfigureerd voor de kliniek in LATITUDE.
- Numerieke waarden worden altijd verzonden met de punt "." als radixpunt (d.w.z. decimaalpunt).

NTE-SEGMENTSTRUCTUUR

- S-ICD-apparaten
 - De eerste NTE bevat informatie over de instellingen met de indeling *label:waarde*, waarbij de instellingen worden gescheiden via een geregeerde (\.br\). Voorbeeld:

 NTE|1||Detectieconfiguratie: Primary\.br\Gain-instelling: 2x\.br\
 Post-shock stimulatie: AAN
 - Als er apparaatstatusinformatie aanwezig is, zal de volledige apparaatstatus in de tweede NTE worden getoond. Voorbeeld:

 NTE|2||Apparaat moet direct worden nagekeken.\.br\.\.br\Bel
 Boston Scientific - BD.\.br\.\.br\Amerikaans continent: 1.800.CARDIAC
 (227.3422) of +1.651.582.4000\.br\Europa, Midden-Oosten, Afrika:
 +32 2 416 7222\.br\Azië/Oceanië: +61 2 8063 8299
- Alle overige apparaten
 - Bij een alarm is er sprake van één NTE voor elk alarm.
 - In geval van een waarschuwing gaat aan een of meerdere alarm-NTE's een waarschuwings-NTE vooraf. Een waarschuwings-NTE bevat een of meerdere waarschuwingen in één NTE.

RAPPORTEN

Gepresenteerd EGM rapport

Als het gepresenteerde EGM-rapport beschikbaar is in de payload die is ontvangen van de PG, wordt het als PDF bij het bericht gevoegd, en wordt het gekoppeld aan de betreffende APMRT-episode met behulp van de groep-id (OBX-4) voor de APMRT-episode.

Gecombineerd follow-uprapport

Een gecombineerd follow-uprapport wordt als PDF aan een bericht toegevoegd in een afzonderlijke OBX.

Rapport Aritmie-logboek

Een aritmie-logboekrapport wordt als PDF aan een bericht toegevoegd in een afzonderlijke OBX.

HF PERSPECTIV™-rapport

Een HF PERSPECTIV™-rapport wordt als PDF aan het bericht toegevoegd in een afzonderlijke OBX.

Namen van rapporten in het bericht

Elk OBX-segment bevat de naam van het rapport in OBX-3.5. Voorbeeld:

```
OBX|51|ED|18750-0^Elektrofysiologierapport hart^LN^^Gecombineerd  
follow-uprapport||Toepassing^PDF^^Base64^{hier het gecodeerde PDF  
voor base 64}|...
```

BASISTERMEN

De volgende tabel bevat nomenclatuurtermen die kunnen voorkomen in een BSC IDCO-bericht.

Reference ID	Weergavenaam
PREPEND MDC_IDC_DEV	Implanteerbaar cardiaal apparaat
_TYPE	Type implanteerbaar cardiaal apparaat
_MODEL	Model van implanteerbaar cardiaal apparaat
_SERIAL	Serienummer van implanteerbaar cardiaal apparaat
_MFG	Fabrikant van implanteerbaar cardiaal apparaat
_IMPLANT_DT	Implantatiedatum van implanteerbaar cardiaal apparaat
PREPEND MDC_IDC_LEAD	Attributen van implanteerbare lead
_MODEL	Model van implanteerbare lead
_SERIAL	Serienummer van implanteerbare lead
_MFG	Fabrikant van implanteerbare lead
_IMPLANT_DT	Implantatiedatum van implanteerbare lead
_POLARITY_TYPE	Type polariteit van implanteerbare lead
_LOCATION	Locatie van implanteerbare lead
_LOCATION_DETAIL_1	Detail 1 van locatie van implanteerbare lead
PREPEND MDC_IDC_SESS	Opvraagssessie
_DTM	Datum/tijd van opvraagssessie
_TYPE	Type opvraagssessie
_CLINIC_NAME	Naam van kliniek
PREPEND MDC_IDC_MSMT	Metingen
_BATTERY	Batterijmetingen
_DTM	Datum/tijd van batterijmetingen
_STATUS	Batterijstatus
_REMAINING_LONGEVITY	Resterende levensduur batterij
_REMAINING_PERCENTAGE	Resterend percentage batterij

_CAP	Condensatormetingen
_CHARGE_DTM	Datum/tijd van laatste keer opladen van condensator
_CHARGE_TIME	Laadtijd van condensator
_CHARGE_TYPE	Laadtype van condensator
_CHARGE_ENERGY	Laadvermogen
LEADCHNL[CHAMBER]	Leadkanaalmetingen
DTM[STRTEND]	Datum en tijd van leadkanaalmetingen
_LEAD_CHANNEL_STATUS	Leadkanaalstatus
LEADCHNL[CHAMBER]_SENSING	Detectiemetingen van leadkanaal
_INTR_AMPL_[MMM]	Intrinsieke amplitude leadkanaaldetectie
_POLARITY	Polariteit van leadkanaaldetectie
LEADCHNL[CHAMBER]_PACING_THRESHOLD	Metingen van stimulatiedrempel van leadkanaal
_AMPLITUDE	Amplitude van stimulatiedrempel van leadkanaal
_PULSEWIDTH	Pulsduur van stimulatiedrempel van leadkanaal
MEASUREMENT_METHOD	Meetmethode van stimulatiedrempel van leadkanaal
_POLARITY	Polariteit van stimulatiedrempel van leadkanaal
LEADCHNL[CHAMBER]_IMPEDANCE	Impedantiemetingen van leadkanaal
_VALUE	Impedantiewaarde van leadkanaal
_POLARITY	Polariteit van leadkanaalimpedantie
_LEADHVCHNL	Leadkanaalmetingen hoog voltage
DTM[STRTEND]	Datum/tijd leadkanaal hoog voltage
_IMPEDANCE	Leadkanaalimpedantie hoog voltage
_MEASUREMENT_TYPER	Type leadkanaalmeting hoog voltage
_STATUS	Leadkanaalstatus hoog voltage
PREPEND MDC_IDC_SET	Instellingen
_CRT	CRT-instellingen
_LVRV_DELAY	CRT LV-RV-interval
_PACED_CHAMBERS	Ventriculaire kamers gestimuleerd tijdens CRT-stimulatie
LEADCHNL[CHAMBER]	Leadkanaalinstellingen
LEADCHNL[CHAMBER]_SENSING	Detectie van leadkanaalinstellingen
_SENSITIVITY	Detectiegevoeligheid leadkanaalinstellingen
_POLARITY	Detectiepolariteit van leadkanaalinstellingen
_ANODE_LOCATION_[1..3]	Anodelocatie detectie leadkanaalinstellingen

_ANODE_ELECTRODE_[1..3]	Anodeconnector detectie leadkanaalinstellingen
_CATHODE_LOCATION_[1..3]	Kathodelocatie detectie leadkanaalinstellingen
_CATHODE_ELECTRODE_[1..3]	Kathodeconnector detectie leadkanaalinstellingen
_ADAPTATION_MODE	Aanpassingsmodus detectie leadkanaalinstellingen
LEADCHNL[CHAMBER]_PACING	Stimulatie van leadkanaalinstellingen
_AMPLITUDE	Stimulatieamplitude van leadkanaalinstellingen
_PULSEWIDTH	Pulsduur van stimulatie van leadkanaalinstellingen
_POLARITY	Stimulatiepolariteit van leadkanaalinstellingen
_ANODE_LOCATION_[1..3]	Anodelocatie stimulatie leadkanaalinstellingen
_ANODE_ELECTRODE_[1..3]	Anodeconnector stimulatie leadkanaalinstellingen
_CATHODE_LOCATION_[1..3]	Kathodelocatie stimulatie leadkanaalinstellingen
_CATHODE_ELECTRODE_[1..3]	Kathodeconnector stimulatie leadkanaalinstellingen
_CAPTURE_MODE	Stimulatiecapturemodus leadkanaalinstellingen
_BRADY	Bradyinstellingen
_MODE	Bradyinstellingsmodus (NBG-code)
_LOWRATE	Basisfrequentie bradyinstellingen
_SENSOR_TYPE	Sensortype bradyinstellingen
_MAX_TRACKING_RATE	Maximale trackingfrequentie bradyinstellingen
_MAX_SENSOR_RATE	Maximale sensorfrequentie bradyinstellingen
_SAV_DELAY_[HIGHLOW]	SAV-interval bradyinstellingen
_PAV_DELAY_[HIGHLOW]	PAV-interval bradyinstellingen
_AT_MODE_SWITCH_MODE	Switchmodus AT-modus bradyinstellingen
_AT_MODE_SWITCH_RATE	Switchfrequentie AT-modus bradyinstellingen
_TACHY THERAPY	Instellingen tachytherapie
_VSTAT	Ventriculaire status tachytherapie-instellingen
_ZONE	Zone-instellingen
_TYPE	Typecategorie zone-instellingen
_VENDOR_TYPE	Categorie leverancierstype zone-instellingen
_STATUS	Status zone-instellingen
_DETECTION_INTERVAL	Detectie-interval zone-instellingen
_DETECTION_DETAILS	Detectedetails
_TYPE_ATP_[1..10]	ATP-type zone-instellingen
_NUM_ATP_SEQS_[1..10]	Aantal ATP-reeksen zone-instellingen

_SHOCK_ENERGY_[1..10]	Shockenergie zone-instellingen
_NUM_SHOCKS_[1..10]	Aantal shocks zone-instellingen
PREPEND MDC_IDC_STAT	Statistieken
DTM[STRTEEND]	Datum/tijd statistieken
_BRADY	Bradystatistieken
DTM[STRTEEND]	Datum/tijd bradystatistieken
_RA_PERCENT_PACED	RA-stimulatiepercentage bradystatistieken
_RV_PERCENT_PACED	RV-stimulatiepercentage bradystatistieken
_AT	Atriale tachystatistieken
DTM[STRTEEND]	Datum/tijd atriale tachystatistieken
_BURDEN_PERCENT	AT/AF-belastingpercentage atriale tachystatistieken
_CRT	CRT-statistieken
DTM[STRTEEND]	Datum/tijd CRT-statistieken
_LV_PERCENT_PACED	LV-stimulatiepercentage CRT-statistieken
_TACHYTHERAPY	Tachytherapiestatistieken
_SHOCKS_DELIVERED_RECENT	Recent afgegeven shocks
_RECENT_DTM_[STRTEEND]	Recente datum/tijd
_SHOCKS_DELIVERED_TOTAL	Totaal afgegeven shocks
_TOTAL_DTM_[STRTEEND]	Totaal datum/tijd
_SHOCKS_ABORTED_RECENT	Recent afgebroken shocks
_SHOCKS_ABORTED_TOTAL	Totaal afgebroken shocks
_ATP_DELIVERED_RECENT	Recent afgegeven ATP
_ATP_DELIVERED_TOTAL	Totaal afgegeven ATP
_EPISODE	Episodestatistieken
_TYPE	Categorie type episodestatistieken
_TYPE_INDUCED	Type episodestatistieken geïnduceerd
_VENDOR_TYPE	Categorie leverancierstype episodestatistieken
_RECENT_COUNT	Recent aantal episodestatistieken
_RECENT_COUNT_DTM_[STRTEEND]	Recente datum/tijd episodestatistieken
_TOTAL_COUNT	Totale telling
_TOTAL_COUNT_DTM_[STRTEEND]	Totaal datum/tijd
PREPEND MDC_IDC_EPISODE	Episode
_ID	Episodecode

_DTM	Datum/tijd van episode
_TYPE	Categorie episodetype
_TYPE_INDUCED	Vlag episodetype geïndiceerd
_VENDOR_TYPE	Categorie leverancierstype episode
_ATRIAL_INTERVAL_AT_DETECTION	Detectie-interval episode atriaal
_VENTRICULAR_INTERVAL_AT_DETECTION	Detectie-interval episode ventriculair
_DETECTION_THERAPY_DETAILS	Episodedetectie en therapiedetails
_DURATION	Episodeduur

Outdated version. Do not use.
Version überholt. Nicht verwenden.
Version obsolete. Ne pas utiliser.
Versión obsoleta. No utilizar.
Versione obsoleta. Non utilizzate.
Verouderde versie. Niet gebruiken.
Föråldrad version. Använd ej.
Παλιά έκδοση. Μην την χρησιμοποιείτε.
Versão obsoleta. Não utilize.
Forældet version. Må ikke anvendes.
Zastaralá verze. Nepoužívat.
Utdatert versjon. Skal ikke brukes.
Zastaraná verzia. Nepoužívať.
Elavult verzió. Ne használja!
Wersja nieaktualna. Nie używać.

Outdated version. Do not use.
Version überholt. Nicht verwenden.
Version obsolète. Ne pas utiliser.
Versión obsoleta. No utilizar.
Versione obsoleta. Non utilizzare.
Verouderde versie. Niet gebruiken.
Föråldrad version. Använd ej.
Παλιά έκδοση. Μην την χρησιμοποιείτε.
Versão obsoleta. Não utilize.
Forældet version. Må ikke anvendes.
Zastaralá verze. Nepoužívat.
Utdatert versjon. Skal ikke brukes.
Zastaraná verzia. Nepoužívať.
Elavult verzió. Ne használja!
Wersja nieaktualna. Nie używać.

GEGEVENS VAN GEÏMPLANTEERDE APPARATEN CONVERTEREN NAAR IDCO-BERICHTEN

HOOFDSTUK 2

In dit hoofdstuk worden de volgende onderwerpen beschreven:

- “Batterijstatus” op pagina 2-2
- “SET_BRADY_SENSOR_TYPE” op pagina 2-2
- “Episodemapping” op pagina 2-2
- “Tellermapping” op pagina 2-3
- “Leadconfiguratiemapping” op pagina 2-4
- “Systeembepkeringen” op pagina 2-5
- “Definities van alarmen en waarschuwingen” op pagina 2-6
- “Rapporten” op pagina 2-6

BATTERIJSTATUS

Deze batterijparameters zijn als volgt aan een BSC-batterijstatus gekoppeld:

BSC-BATTERIJSTATUS (S-ICD-apparaten)	BSC-BATTERIJSTATUS (alle overige apparaten)	IDCO-BATTERIJSTATUS
>10% resterend tot ERI	BOL	BOS
<10% resterend tot ERI	OY	MOS
ERI	ERI	RRT
EOL	EOL	EOS

Als er bij een geïmplanteerd apparaat sprake is van beperkte telemetrie, kan de batterijstatus van het apparaat ERI of EOL zijn. Beide batterijstatussen resulteren in hetzelfde bericht: ENUM_BATTERY_STATUS_RRT (ERI) in MSMT_BATTERY_STATUS met de ERI-tijdstempel in MSMT_BATTERY_DTM. Dit is alleen van toepassing op beperkte telemetrie en niet op S-ICD-apparaten.

SET_BRADY_SENSOR_TYPE

Het sensortype wordt verzonden zoals weergegeven in onderstaande tabel.

VERZONDEN WAARDE VOOR SET_BRADY_SENSOR_TYPE VARIABELE OP BASIS VAN INSTELLING VOOR GEÏMPLANTEERD APPARAAT	INSTELLING GEÏMPLANTEERD APPARAAT
"Accelerometer"	Alleen accelerometer
"Minuut Volume"	Alleen MV
"Accelerometer + MV"	Accelerometer en MV

Bovenstaande waarden worden alleen verzonden als de frequentie kan worden bestuurd door de sensor (en kunnen dus niet worden verzonden als de sensor zich in de monitorstatus bevindt).

Bovenstaande waarden worden verzonden als de frequentie kan worden bestuurd in de normale bradymodus of in ATR (d.w.z. de waarde komt niet alleen overeen met de normale brachymodus).

Let op: "ATR excl" kan worden weergegeven in rapporten als de ATR-modus een frequentieadapterende modus is, en als de normale bradymodus niet frequentieadapterend is. In dat geval wordt de tekst (bijv. "Accelerometer") nog steeds verzonden voor de ATR-modus. De gebruiker kan de brachymodus en ATR-modus bekijken en bepalen of de frequentierespons exclusief voor ATR is.

EPISODEMAPPING

Episodes, tellers, enzovoort worden verzonden op basis van de informatie in de opvraging. Dezelfde informatie wordt eerst verzonden en vervolgens opnieuw verstuurd, ook als er opvragingen tussen liggen. De EMR-output komt niet altijd overeen met de weergave in het Quick Notes-rapport, omdat in Quick Notes episodes, waarschuwingen en tellers worden weergegeven sinds de laatste reset. Episodes worden weergegeven in een combinatie van normatieve en leveranciersspecifieke typen. Sommige Boston Scientific-episodetypen kunnen niet uniek worden weergegeven in de huidige IDCO-nomenclatuur.

BSC-EPISEDE-ID	BSC-EPISEDETYPE	NORMATIEF IDCO-EPISEDETYPE	LEVERANCIERSPECIFIEK IDCO-EPISEDETYPE
V-x	VF	VF	BSX-Zone_VF
V-x	VT	VT	BSX-Epis_VT
V-x	VT (V>A)	VT	BSX-Epis_VT
V-x	Tachy	Voor SSI-apparaten, bij lead in de: • V – VT • A – AT/AF • Ongespecificeerd – VT	Leeg
V-x	NietAanh.	Voor SSI-apparaten, bij lead in de: • V – VT • A – AT/AF • Ongespecificeerd – VT	Indien A, leeg anders BSX-Epis_NSVT
V-x	SVT (V≤A)	SVT	BSX-Zone_SVT
V-x	VT-1	VT	BSX-Epis_VT-1
RMS-x	RMS	Overig	BSX-Epis_RMS
RYTHMIQ™-x	RYTHMIQ™	Overig	BSX-Epis_RMS
ATR-x	ATR	ATAF	BSX-Epis_ATR
PMT-x	PMT	Overig	BSX-Epis_PMT
PBR-x	PBR	Overig	Geen
PTM-x	PTM	Door patiënt geactiveerd	BSX-Epis_PTM
V-x	Cmd V	Overig	Geen
V-x	NietAanhV	VT	BSX-Epis_NSVT
APMRT-x	APM RT	Periodieke EGM	BSX-Epis_APMRT
RVAT-x	RV Auto	Overig	Geen
RAAT-x	RA Auto	Overig	Geen
LVAT-x	LV Auto	Overig	Geen
MRI-x	MRI	Overig	Geen
<episodenummer>	Behandeld	VF	BSX-Zone_VF
<episodenummer>	Niet-behandeld	Overig	Zie opmerking a

a. het leverancierspecifieke episodetype OBX wordt getoond in het bericht met een lege waarde voor observatie.

TELLERMAPPING

Sommige tellers worden opgeteld voordat ze in het bericht worden verzonden. De reden hiervoor is dat niet alle Boston Scientific-tellers momenteel kunnen worden weergegeven in de IDCO-nomenclatuur: De verzonden waarden zijn de waarden sinds de laatste reset.

BSC-EPISEDETELLER	STATISTISCH NORMATIEF IDCO-EPISEDETYPE	STATISTISCH LEVERANCIERSPECIFIEK IDCO-EPISEDETYPE
Behandeld	VF	BSX-Epis_VF
Niet-behandeld	Overig	Zie opmerking a
VT (V>A)	VT	BSX-Epis_VT
Tachy	VT	BSX-Epis_VT
NietAanh.	VT	BSX-Epis_NSVT
NietAanhV	VT	BSX-Epis_NSVT
SVT (V≤A)	SVT	BSX-Epis_SVT
ATR	AT/AF	BSX-Epis_ATR
MRI	Overig	Zie opmerking a
VF	VF	BSX-Epis_VF
VT	VT	BSX-Epis_VT
VT-1	VT	BSX-Epis_VT-1
Cmd	Overig	Zie opmerking a
Geen therapie geprogrammeerd	Monitor	Zie opmerking a
Overige niet-behandelde	Overig	Zie opmerking a
RMS	Overig	BSX-Epis_RMS
RYTHMIQ™	Overig	BSX-Epis_RMS
PMT	Overig	BSX-Epis_PMT
PBR	Overig	Zie opmerking a
PTM	Door patiënt geactiveerd	BSX-Epis_PTM
APM RT	Periodieke EGM	BSX-Epis_APMRT
RA Auto	Overig	Zie opmerking a
RV Auto	Overig	Zie opmerking a
LV Auto	Overig	Zie opmerking a

a. de leveranciersspecifieke tellerstat OBX wordt getoond in het bericht met een lege waarde voor observatie.

LEADCONFIGURATIEMAPPING

In onderstaande tabel wordt aangegeven hoe leads met meerdere elektroden in IDCO en BSC zijn gedefinieerd. Deze tabel is niet bedoeld als volledige lijst, en bevat alleen gegevens die mogelijk niet duidelijk zijn.

De definities die in BSC worden gebruikt, zijn consistent met de Programmer/Recorder/Monitor (PRM) en de LATITUDE-website.

BSC-ELEKTRODENAAM	IDCO-ELEKTRODELOCATIE	IDCO-ELEKTRODENAAM
Can	Overig	Can
LVTip1	LV	Tip
LVRing2	LV	Ring1
LVRing3	LV	Ring2
LVRing4	LV	Ring3

MDC_IDC_ENUM_ELECTRODE_LOCATION (locatie stimulatie/detectie anode/kathode) bevat momenteel geen lijst voor de pocket (d.w.z. can). Locatie wordt verzonden als "overig" en elektrode als "can".

De status "lead controleren" geeft aan dat er mogelijk een probleem is met de lead; als de status "lead controleren" echter niet wordt weergegeven, wil dat niet zeggen dat er geen probleem is. Er wordt een status "Controle Lead" verzonden bij een van de volgende statusindicatoren:

- S-ICD-apparaten
 - Hoge elektrode-impedantie
- Alle overige apparaten
 - Veiligheidsschakelaar lead
 - Impedantie buiten bereik
 - Amplitude buiten bereik
 - Lage shock-impedantie
 - Hoge shock-impedantie
 - Hoog voltage tijdens laden

Voor MSMT_LEADCHNL_[CHAMBER] (d.w.z. leadkanaalmetingen zoals intrinsieke amplitude, leadimpedantie, stimulatierempel) is slechts één tijdstempelbereik mogelijk voor alle metingen (dus niet één bereik per meting) in de huidige IDCO-nomenclatuur. Als de meettijden verschillend zijn, wordt er een tijdstempelbereik (d.w.z. MIN, MAX) verzonden dat de tijden van alle metingen bevat. Verder zijn de waarden die worden verzonden een IDCO MEAN-waarde op basis van de IDCO-nomenclatuur. De waarden zijn echter enkele metingen en zijn geen gemiddelde waarden over het tijdstempelbereik.

SYSTEEMBEPERKINGEN

- Tachyspecifieke en kamerspecifieke output zijn zo nauwkeurig mogelijk. In sommige gevallen is het echter zeer belangrijk dat de gegevens worden verzonden. Dit, en het feit dat IDCO bepaalde parameters niet kan weergeven, zorgt ervoor dat de gegevens toch worden verzonden. VT-zone-informatie wordt bijvoorbeeld verzonden alsof bradyapparaten een VT-zone zouden hebben.
- Bij apparaten die geen automatische stimulatierempel (autodrempelfunctie) hebben, wordt de laatste poliklinische drempelmeting verzonden.
- Een goede rapportering van de geïmplanteerde apparaatgegevens en alarmmeldingen door het LATITUDE NXT-systeem is afhankelijk van de al dan niet correcte programmering van de klok van het geïmplanteerde apparaat met een Programmer/Recorder/Monitor (PRM). Een goede rapportering kan ook een tijd nadat de klok van het geïmplanteerde apparaat correct geprogrammeerd werd beïnvloed worden, afhankelijk van de hoeveelheid gegevens met onnauwkeurige tijdsinformatie en het tijdsverschil van de klok van het geïmplanteerde apparaat.

- Tekenreeksen worden verzonden in de taal die is geconfigureerd voor de kliniek in LATITUDE.

DEFINITIES VAN ALARMEN EN WAARSCHUWINGEN

Waarschuwingen en alarmen worden als opmerkingen bij het bericht gevoegd. Deze opmerkingen worden al dan niet in een EMR weergegeven. Een waarschuwing of alarm wordt in het bericht opgenomen als de gegevens die zijn geüpload van de PG de waarschuwing hebben veroorzaakt.

RAPPORTEN

Gepresenteerd EGM rapport

Als het gepresenteerde EGM-rapport beschikbaar is in de payload die is ontvangen van de PG, wordt het als PDF bij het bericht gevoegd, en wordt het gekoppeld aan de betreffende APMRT-episode met behulp van de groep-id (OBX-4) voor de APMRT-episode.

Gecombineerd follow-uprapport

Een gecombineerd follow-uprapport wordt als PDF aan het bericht toegevoegd.

Rapport Aritmie-logboek

Een aritmie-logboekrapport wordt als PDF aan een bericht toegevoegd in een afzonderlijke OBX.

HF PERSPECTIV™-rapport

Een HF PERSPECTIV™-rapport wordt als PDF aan het bericht toegevoegd in een afzonderlijke OBX.

VOORBEELD VAN IDCO-BESTANDEN

HOOFDSTUK 3

In dit hoofdstuk worden de volgende onderwerpen beschreven:

- “Voorbeeld van IDCO-bestanden” op pagina 3-2
- “Voorbeeldbericht 1 — S-ICD-Apparaat” op pagina 3-2
- “Voorbeeldbericht 2 — Overige Apparaten (Niet S-ICD)” op pagina 3-3

Outdated version. Do not use.
Version überholt. Nicht verwenden.
Version obsolète. Ne pas utiliser.
Versione obsoleta. No utilizar.
Verouderde versie. Niet gebruiken.
Föråldrad version. Använd ej.
Παλιά έκδοση. Μην την χρησιμοποιείτε.
Versão obsoleta. Não utilize.
Forældet version. Må ikke anvendes.
Zastaralá verzia. Nepoužívať.
Utdatert versjon. Skal ikke brukes.
Zastaraná verzia. Nepoužívať.
Elavult verzió. Ne használja!
Wersja nieaktualna. Nie używać.

OBX|28|CWE|731712^MDC_IDC_SET_ZONE_VENDOR_TYPE^MDC|1|771139^MDC_IDC_ENUM_ZONE_VENDOR_TYPE_BSX-Zone_VF^MDC|||||F
 OBX|29|CWE|731776^MDC_IDC_SET_ZONE_STATUS^MDC|1|755009^MDC_IDC_ENUM_ZONE_STATUS_Active^MDC|||||F
 OBX|30|NM|731840^MDC_IDC_SET_ZONE_DETECTION_INTERVAL^MDC|1|273|ms|||||F
 OBX|31|NM|732225^MDC_IDC_SET_ZONE_SHOCK_ENERGY_1^MDC|1|80|J|||||F
 OBX|32|CWE|731648^MDC_IDC_SET_ZONE_TYPE^MDC|1|754946^MDC_IDC_ENUM_ZONE_TYPE_Zone_VT^MDC|||||F
 OBX|33|CWE|731712^MDC_IDC_SET_ZONE_VENDOR_TYPE^MDC|2|771137^MDC_IDC_ENUM_ZONE_VENDOR_TYPE_BSX-Zone_VT^MDC|||||F
 OBX|34|CWE|731776^MDC_IDC_SET_ZONE_STATUS^MDC|2|755009^MDC_IDC_ENUM_ZONE_STATUS_Active^MDC|||||F
 OBX|35|NM|731840^MDC_IDC_SET_ZONE_DETECTION_INTERVAL^MDC|2|300|ms|||||F
 OBX|36|ST|732032^MDC_IDC_SET_ZONE_DETECTION_DETAILS^MDC|2|SMART Charge: 204,69 s (133 intervallen)|||||F
 OBX|37|NM|732225^MDC_IDC_SET_ZONE_SHOCK_ENERGY_1^MDC|2|80|J|||||F
 OBX|38|CWE|737952^MDC_IDC_STAT_EPISODE_TYPE^MDC|1|754888^MDC_IDC_ENUM_EPISODE_TYPE_Epis_Other^MDC|||||F
 OBX|39|CWE|737984^MDC_IDC_STAT_EPISODE_VENDOR_TYPE^MDC|1|||||F
 OBX|40|NM|738000^MDC_IDC_STAT_EPISODE_RECENT_COUNT^MDC|1|1|||||F
 OBX|41|DTM|738017^MDC_IDC_STAT_EPISODE_RECENT_COUNT_DTM_START^MDC|1|20150126|||||F
 OBX|42|DTM|738018^MDC_IDC_STAT_EPISODE_RECENT_COUNT_DTM_END^MDC|1|20150126|||||F
 OBX|43|NM|738032^MDC_IDC_STAT_EPISODE_TOTAL_COUNT^MDC|1|1|||||F
 OBX|44|DTM|738049^MDC_IDC_STAT_EPISODE_TOTAL_COUNT_DTM_START^MDC|1|20150126|||||F
 OBX|45|DTM|738050^MDC_IDC_STAT_EPISODE_TOTAL_COUNT_DTM_END^MDC|1|20150126|||||F
 OBX|46|CWE|737952^MDC_IDC_STAT_EPISODE_TYPE^MDC|2|754881^MDC_IDC_ENUM_EPISODE_TYPE_Epis_VF^MDC|||||F
 OBX|47|CWE|737984^MDC_IDC_STAT_EPISODE_VENDOR_TYPE^MDC|2|771073^MDC_IDC_ENUM_EPISODE_VENDOR_TYPE_BSX-Epis_VF^MDC|||||F
 OBX|48|NM|738000^MDC_IDC_STAT_EPISODE_RECENT_COUNT^MDC|2|1|||||F
 OBX|49|DTM|738017^MDC_IDC_STAT_EPISODE_RECENT_COUNT_DTM_START^MDC|2|20150126|||||F
 OBX|50|DTM|738018^MDC_IDC_STAT_EPISODE_RECENT_COUNT_DTM_END^MDC|2|20150126|||||F
 OBX|51|NM|738032^MDC_IDC_STAT_EPISODE_TOTAL_COUNT^MDC|2|1|||||F
 OBX|52|DTM|738049^MDC_IDC_STAT_EPISODE_TOTAL_COUNT_DTM_START^MDC|2|20150126|||||F
 OBX|53|DTM|738050^MDC_IDC_STAT_EPISODE_TOTAL_COUNT_DTM_END^MDC|2|20150126|||||F
 OBX|54|DTM|737937^MDC_IDC_STAT_TACHYTHERAPY_RECENT_DTM_START^MDC|1|20150126|||||F
 OBX|55|DTM|737938^MDC_IDC_STAT_TACHYTHERAPY_RECENT_DTM_END^MDC|1|20150126|||||F
 OBX|56|NM|737824^MDC_IDC_STAT_TACHYTHERAPY_SHOCKS_DELIVERED_RECENT^MDC|1|1|||||F
 OBX|57|DTM|737921^MDC_IDC_STAT_TACHYTHERAPY_TOTAL_DTM_START^MDC|1|20150126|||||F
 OBX|58|DTM|737922^MDC_IDC_STAT_TACHYTHERAPY_TOTAL_DTM_END^MDC|1|20150126|||||F
 OBX|59|NM|737840^MDC_IDC_STAT_TACHYTHERAPY_SHOCKS_DELIVERED_TOTAL^MDC|1|1|||||F
 OBX|60|ST|720961^MDC_IDC_LEAD_MODEL^MDC|1|1030|||||F
 OBX|61|ST|720962^MDC_IDC_LEAD_SERIAL^MDC|1|A123456|||||F
 OBX|62|CWE|720963^MDC_IDC_LEAD_MFG^MDC|1|753732^MDC_IDC_ENUM_MFG_BSX^MDC|||||F
 OBX|63|CWE|720966^MDC_IDC_LEAD_LOCATION^MDC|1|753861^MDC_IDC_ENUM_LEAD_LOCATION_CHAMBER_OTHER^MDC|||||F
 OBX|64|CWE|720967^MDC_IDC_LEAD_LOCATION_DETAIL_1^MDC|1|753944^MDC_IDC_ENUM_LEAD_LOCATION_DETAIL_Subcutaneous^MDC|||||F
 OBX|65|ED|18750-0^Cardiac Electrophysiology Report^LN^^Overzichtsrapport||Application^PDF^^Base64^{gecodeerde PDF hier}|||||F
 |||201501260412-0600OBX|66|ED|18750-0^Cardiac Electrophysiology Report^LN^^Rapport Aritmie-logboek||Application^PDF^^Base64^{gecodeerde PDF hier}|||||F
 |||201501260412-0600OBX|67|ED|18750-0^Cardiac Electrophysiology Report^LN^^Gepresenteerd S-ECG-rapport||Application^PDF^^Base64^{gecodeerde PDF hier}|||||F
 |||201501260412-0600

VOORBEELDBERICHT 2 — OVERIGE APPARATEN (NIET S-ICD)

MSH|^~\&|LATITUDE|BOSTON SCIENTIFIC||TestClinic|201305092136+0000||ORU^R01^ORU_R01

3-4 VOORBEELD VAN IDCO-BESTANDEN
VOORBEELDBERICHT 2 — OVERIGE APPARATEN (NIET S-ICD)

```
|0|P|2.6|UNICODE UTF-8|nl^Dutch||IHE_PCD_009^IHE_PCD
^1.3.6.1.4.1.19376.1.6.1.9.1^ISO
PID|1||model:N119/serial:900141^^^BSX^U||testLastName^testName^^^^^I
~testAuxLName^testAuxFName^^^^^P||19680215|U
PV1|1|R
PV2|TestDeviceGroup^1
OBR|1||1000000916|754054^MDC_IDC_ENUM_SESS_TYPE_RemotePatientInitiated
^MDC||201001151330-0500|F
NTE|1||02 feb 2012 00:00 - Geel alarmsignaal - Atriale aritmiebelasting van ten
minste 3,0 uur in een periode van 24 uur.
NTE|2||02 feb 2012 00:00 - Geel alarmsignaal - Atriale aritmiebelasting van ten
minste 3,0 uur in een periode van 24 uur tussen 11 jan 2010 23:00 en 12 jan 2010 00:00.
NTE|3||02 feb 2012 00:00 - Geel alarmsignaal - Stimulatie met cardiale
resynchronisatie therapie van < 1%. Stimulatie bedroeg 2% tussen 11 jan 2010 23:00 en
12 jan 2010 00:00.
NTE|4||02 feb 2012 00:00 - Geel alarmsignaal - Rechtsventriculaire stimulatie
van > 1%. Stimulatie bedroeg 2% tussen 11 jan 2010 23:00 en 12 jan 2010 00:00.
NTE|5||02 feb 2012 00:00 - Geel alarmsignaal - Patiëntgetriggerd event opgeslagen.
Bekijk het episodetail in het aritmieboek op het tabblad Events.
NTE|6||02 feb 2012 00:00 - Geel alarmsignaal - Gewichtstoename van tenminste
2,27 kg per week of tenminste 0,91 kg gemiddeld tijdens een periode van twee
of meer dagen.
NTE|7||02 feb 2012 00:00 - Geel alarmsignaal - Gewichtsverlies van tenminste
2,27 kg per week of tenminste 0,91 kg gemiddeld tijdens een periode van twee
of meer dagen.
NTE|8||02 feb 2012 00:00 - Geel alarmsignaal - Explantatie-indicator bereikt op
12 jan 2010 00:00. Plan vervanging van dit apparaat.
NTE|9||02 feb 2012 00:00 - Geel alarmsignaal - Voltage was te laag voor de
geschatte restcapaciteit.
NTE|10||02 feb 2012 00:00 - Rood alarmsignaal - Monitoring van op afstand werd
gedeaactiveerd op 12 jan 2010 00:00 als gevolg van een beperkte batterijcapaciteit
(Explantatie-indicator bereikt op 12 feb 2010 00:00).
NTE|11||02 feb 2012 00:00 - Geel alarmsignaal - Corruptie in therapiehistorie
gedetecteerd. Verder opgeslagen therapiehistoriegegevens zijn verwijderd.
NTE|12||02 feb 2012 00:00 - Rood alarmsignaal - Mogelijk apparaat defect
(foutcode 1011).
NTE|13||02 feb 2012 00:00 - Rood alarmsignaal - Mogelijk defect van het apparaat
(foutcode 1007).
NTE|14||02 feb 2012 00:00 - Rood alarmsignaal - Mogelijk defect van het apparaat
(foutcode 1009).
NTE|15||02 feb 2012 00:00 - Rood alarmsignaal - Apparaat in Veiligheidsmodus.
Ter bescherming van de patiënt is het apparaat naar de veiligheidsmodus
overgeschakeld.
NTE|16||02 feb 2012 00:00 - Geel alarmsignaal - Rechtsventriculaire automatische
drempel gedetecteerd als > geprogrammeerde amplitude of opgeschort.
NTE|17||02 feb 2012 00:00 - Geel alarmsignaal - Atriale automatische drempel
gedetecteerd als > geprogrammeerde amplitude of opgeschort.
NTE|18||02 feb 2012 00:00 - Rood alarmsignaal - Shocklead-impedantiemetingen
buiten bereik.
NTE|19||02 feb 2012 00:00 - Rood alarmsignaal - Lage shock-lead impedantie
gedetecteerd tijdens poging tot toedienen van een shock
NTE|20||02 feb 2012 00:00 - Rood alarmsignaal - Hoge shock-lead impedantie
gedetecteerd tijdens poging tot toedienen van een shock
NTE|21||02 feb 2012 00:00 - Rood alarmsignaal - Hoog voltage gedetecteerd op
shock-lead tijdens laden
NTE|22||02 feb 2012 00:00 - Rood alarmsignaal - Bescherming elektrocauterisatie
is actief.
NTE|23||02 feb 2012 00:00 - Geel alarmsignaal - VT-episode plaatsgevonden (V>A).
NTE|24||02 feb 2012 00:00 - Geel alarmsignaal - Bradymodus van apparaat is uit.
```

Er wordt geen bradytherapie afgegeven.

NTE|25||02 feb 2012 00:00 - Geel alarmsignaal - Linksventriculaire stimulatielead-impedantie buiten bereik.
 NTE|26||02 feb 2012 00:00 - Geel alarmsignaal - Atriale stimulatielead-impedantie buiten bereik.
 NTE|27||02 feb 2012 00:00 - Geel alarmsignaal - Rechtsventriculaire intrinsieke amplitude buiten bereik.
 NTE|28||02 feb 2012 00:00 - Geel alarmsignaal - Intrinsieke amplitude buiten bereik.
 NTE|29||02 feb 2012 00:00 - Geel alarmsignaal - Linksventriculaire intrinsieke amplitude buiten bereik.
 NTE|30||02 feb 2012 00:00 - Geel alarmsignaal - Atriale intrinsieke amplitude buiten bereik.
 NTE|31||02 feb 2012 00:00 - Rood alarmsignaal - Rechtsventriculaire stimulatielead-impedantie buiten bereik.
 NTE|32||02 feb 2012 00:00 - Rood alarmsignaal - Stimulatielead-impedantie buiten bereik.
 NTE|33||02 feb 2012 00:00 - Geel alarmsignaal - Ventriculaire shocktherapie afgegeven voor het converteren van aritmie.
 NTE|34||02 feb 2012 00:00 - Geel alarmsignaal - Versnelde ventriculaire aritmie-episode.
 NTE|35||02 feb 2012 00:00 - Rood alarmsignaal - V-tachymode is ingesteld op andere waarde dan Monitor + Therapie
 NTE|36||02 feb 2012 00:00 - Rood alarmsignaal - Kennisgeving van leadcontrole vanwege abrupte verandering van rechtsventriculaire stimulatielead-impedantie in de laatste 7 dagen.
 NTE|37||02 feb 2012 00:00 - Rood alarmsignaal - Kennisgeving van leadcontrole vanwege episode met mogelijk rechtsventriculair niet-fysiologisch signaal.
 NTE|38||02 feb 2012 00:00 - Geel alarmsignaal - Automatische drempel van het linkerventrikel gedetecteerd als > dan geprogrammeerde amplitude, of uitgesteld.
 OBX|1|ST|739536^MDC_IDC_EPISODE_ID^MDC|1|MRI-16|||||F
 OBX|2|DTM|739552^MDC_IDC_EPISODE_DTM^MDC|1|200101020304|||||F
 OBX|3|CWE|739568^MDC_IDC_EPISODE_TYPE^MDC|1|754888
 ^MDC_IDC_ENUM_EPISODE_TYPE_Epis_Other^MDC|||||F
 OBX|4|CWE|739600^MDC_IDC_EPISODE_VENDOR_TYPE^MDC|1|||||F
 OBX|5|NM|739712^MDC_IDC_EPISODE_DURATION^MDC|1|100|s|||||F
 OBX|6|ST|739680^MDC_IDC_EPISODE_DETECTION_THERAPY_DETAILS
 ^MDC|1|MRI Beschermsmodus|||||F
 OBX|7|ST|739536^MDC_IDC_EPISODE_ID^MDC|2|LVAT-15|||||F
 OBX|8|DTM|739552^MDC_IDC_EPISODE_DTM^MDC|2|200101020304|||||F
 OBX|9|CWE|739568^MDC_IDC_EPISODE_TYPE^MDC|2|754888
 ^MDC_IDC_ENUM_EPISODE_TYPE_Epis_Other^MDC|||||F
 OBX|10|CWE|739600^MDC_IDC_EPISODE_VENDOR_TYPE^MDC|2|||||F
 OBX|11|NM|739712^MDC_IDC_EPISODE_DURATION^MDC|2|100|s|||||F
 OBX|12|ST|739680^MDC_IDC_EPISODE_DETECTION_THERAPY_DETAILS^MDC|2|LV Auto|||||F
 OBX|13|ST|739536^MDC_IDC_EPISODE_ID^MDC|3|RVAT-14|||||F
 OBX|14|DTM|739552^MDC_IDC_EPISODE_DTM^MDC|3|200101020304|||||F
 OBX|15|CWE|739568^MDC_IDC_EPISODE_TYPE^MDC|3|754888
 ^MDC_IDC_ENUM_EPISODE_TYPE_Epis_Other^MDC|||||F
 OBX|16|CWE|739600^MDC_IDC_EPISODE_VENDOR_TYPE^MDC|3|||||F
 OBX|17|NM|739712^MDC_IDC_EPISODE_DURATION^MDC|3|100|s|||||F
 OBX|18|ST|739680^MDC_IDC_EPISODE_DETECTION_THERAPY_DETAILS^MDC|3|RV Auto|||||F
 OBX|19|ST|739536^MDC_IDC_EPISODE_ID^MDC|4|APM-13|||||F
 OBX|20|DTM|739552^MDC_IDC_EPISODE_DTM^MDC|4|200101020304|||||F
 OBX|21|CWE|739568^MDC_IDC_EPISODE_TYPE^MDC|4|754886
 ^MDC_IDC_ENUM_EPISODE_TYPE_Epis_PeriodicEGM^MDC|||||F
 OBX|22|CWE|739600^MDC_IDC_EPISODE_VENDOR_TYPE^MDC|4|771085
 ^MDC_IDC_ENUM_EPISODE_VENDOR_TYPE_BSX-Epis_APMRT^MDC|||||F
 OBX|23|ST|739680^MDC_IDC_EPISODE_DETECTION_THERAPY_DETAILS

3-6 VOORBEELD VAN IDCO-BESTANDEN
VOORBEELDBERICHT 2 — OVERIGE APPARATEN (NIET S-ICD)

```
^MDC|4|EGM gepresenteerd|||||F
OBX|24|ST|739536^MDC_IDC_EPISODE_ID^MDC|5|PTM-12|||||F
OBX|25|DTM|739552^MDC_IDC_EPISODE_DTM^MDC|5|200101020304|||||F
OBX|26|CWE|739568^MDC_IDC_EPISODE_TYPE^MDC|5|754887
^MDC_IDC_ENUM_EPISODE_TYPE_Epis_PatientActivated^MDC|||||F
OBX|27|CWE|739600^MDC_IDC_EPISODE_VENDOR_TYPE^MDC|5|771080
^MDC_IDC_ENUM_EPISODE_VENDOR_TYPE_BSX-Epis_PTM^MDC|||||F
OBX|28|NM|739648^MDC_IDC_EPISODE_VENTRICULAR_INTERVAL_AT_DETECTION
^MDC|5|30000|ms|||||F
OBX|29|NM|739712^MDC_IDC_EPISODE_DURATION^MDC|5|100|s|||||F
OBX|30|ST|739680^MDC_IDC_EPISODE_DETECTION_THERAPY_DETAILS^MDC|5|PTM|||||F
OBX|31|ST|739536^MDC_IDC_EPISODE_ID^MDC|6|RAAT-11|||||F
OBX|32|DTM|739552^MDC_IDC_EPISODE_DTM^MDC|6|200101020304|||||F
OBX|33|CWE|739568^MDC_IDC_EPISODE_TYPE^MDC|6|754888
^MDC_IDC_ENUM_EPISODE_TYPE_Epis_Other^MDC|||||F
OBX|34|CWE|739600^MDC_IDC_EPISODE_VENDOR_TYPE^MDC|6|||||F
OBX|35|NM|739712^MDC_IDC_EPISODE_DURATION^MDC|6|100|s|||||F
OBX|36|ST|739680^MDC_IDC_EPISODE_DETECTION_THERAPY_DETAILS^MDC|6|RA Auto|||||F
OBX|37|ST|739536^MDC_IDC_EPISODE_ID^MDC|7|RYTHMIQ-10|||||F
OBX|38|DTM|739552^MDC_IDC_EPISODE_DTM^MDC|7|200101020304|||||F
OBX|39|CWE|739568^MDC_IDC_EPISODE_TYPE^MDC|7|754888
^MDC_IDC_ENUM_EPISODE_TYPE_Epis_Other^MDC|||||F
OBX|40|CWE|739600^MDC_IDC_EPISODE_VENDOR_TYPE^MDC|7|771084
^MDC_IDC_ENUM_EPISODE_VENDOR_TYPE_BSX-Epis_RMS^MDC|||||F
OBX|41|NM|739648
^MDC_IDC_EPISODE_VENTRICULAR_INTERVAL_AT_DETECTION^MDC|7|30000|ms|||||F
OBX|42|NM|739712^MDC_IDC_EPISODE_DURATION^MDC|7|100|s|||||F
OBX|43|ST|739680^MDC_IDC_EPISODE_DETECTION_THERAPY_DETAILS^MDC|7|RYTHMIQ|||||F
OBX|44|ST|739536^MDC_IDC_EPISODE_ID^MDC|8|RMS-9|||||F
OBX|45|DTM|739552^MDC_IDC_EPISODE_DTM^MDC|8|200101020304|||||F
OBX|46|CWE|739568^MDC_IDC_EPISODE_TYPE^MDC|8|754888
^MDC_IDC_ENUM_EPISODE_TYPE_Epis_Other^MDC|||||F
OBX|47|CWE|739600^MDC_IDC_EPISODE_VENDOR_TYPE^MDC|8|771084
^MDC_IDC_ENUM_EPISODE_VENDOR_TYPE_BSX-Epis_RMS^MDC|||||F
OBX|48|NM|739648
^MDC_IDC_EPISODE_VENTRICULAR_INTERVAL_AT_DETECTION^MDC|8|30000|ms|||||F
OBX|49|NM|739712^MDC_IDC_EPISODE_DURATION^MDC|8|100|s|||||F
OBX|50|ST|739680^MDC_IDC_EPISODE_DETECTION_THERAPY_DETAILS^MDC|8|RMS|||||F
OBX|51|ST|739536^MDC_IDC_EPISODE_ID^MDC|9|V-8|||||F
OBX|52|DTM|739552^MDC_IDC_EPISODE_DTM^MDC|9|200101020304|||||F
OBX|53|CWE|739568^MDC_IDC_EPISODE_TYPE^MDC|9|754881
^MDC_IDC_ENUM_EPISODE_TYPE_Epis_VF^MDC|||||F
OBX|54|CWE|739600^MDC_IDC_EPISODE_VENDOR_TYPE^MDC|9|771073
^MDC_IDC_ENUM_EPISODE_VENDOR_TYPE_BSX-Epis_VF^MDC|||||F
OBX|55|CWE|739584^MDC_IDC_EPISODE_TYPE_INDUCED^MDC|9|755329
^MDC_IDC_ENUM_EPISODE_TYPE_INDUCED_YES^MDC|||||F
OBX|56|NM|739648
^MDC_IDC_EPISODE_VENTRICULAR_INTERVAL_AT_DETECTION^MDC|9|30000|ms|||||F
OBX|57|NM|739712^MDC_IDC_EPISODE_DURATION^MDC|9|100|s|||||F
OBX|58|ST|739680
^MDC_IDC_EPISODE_DETECTION_THERAPY_DETAILS^MDC|9|VF ATPx1, 0,1J, 0,2J, 31Jx2|||||F
OBX|59|ST|739536^MDC_IDC_EPISODE_ID^MDC|10|PMT-7|||||F
OBX|60|DTM|739552^MDC_IDC_EPISODE_DTM^MDC|10|200101020304|||||F
OBX|61|CWE|739568^MDC_IDC_EPISODE_TYPE^MDC|10|754888
^MDC_IDC_ENUM_EPISODE_TYPE_Epis_Other^MDC|||||F
OBX|62|CWE|739600^MDC_IDC_EPISODE_VENDOR_TYPE^MDC|10|771079
^MDC_IDC_ENUM_EPISODE_VENDOR_TYPE_BSX-Epis_PMT^MDC|||||F
OBX|63|NM|739648^MDC_IDC_EPISODE_VENTRICULAR_INTERVAL_AT_DETECTION
^MDC|10|30000|ms|||||F
```


OBX|64|NM|739712^MDC_IDC_EPISODE_DURATION^MDC|10|100|s|||||F
 OBX|65|ST|739680^MDC_IDC_EPISODE_DETECTION_THERAPY_DETAILS^MDC|10|PMT|||||F
 OBX|66|ST|739536^MDC_IDC_EPISODE_ID^MDC|11|V-6|||||F
 OBX|67|DTM|739552^MDC_IDC_EPISODE_DTM^MDC|11|200101020304|||||F
 OBX|68|CWE|739568^MDC_IDC_EPISODE_TYPE^MDC|11|754882
 ^MDC_IDC_ENUM_EPISODE_TYPE_Epis_VT^MDC|||||F
 OBX|69|CWE|739600^MDC_IDC_EPISODE_VENDOR_TYPE^MDC|11|771075
 ^MDC_IDC_ENUM_EPISODE_VENDOR_TYPE_BSX-Epis_VT-1^MDC|||||F
 OBX|70|CWE|739584^MDC_IDC_EPISODE_TYPE_INDUCED^MDC|11|755329
 ^MDC_IDC_ENUM_EPISODE_TYPE_INDUCED_YES^MDC|||||F
 OBX|71|NM|739648^MDC_IDC_EPISODE_VENTRICULAR_INTERVAL_AT_DETECTION
 ^MDC|11|30000|ms|||||F
 OBX|72|NM|739712^MDC_IDC_EPISODE_DURATION^MDC|11|100|s|||||F
 OBX|73|ST|739680^MDC_IDC_EPISODE_DETECTION_THERAPY_DETAILS
 ^MDC|11|VT-1 ATPx1, 0,1J, 0,2J, 31Jx2|||||F
 OBX|74|ST|739536^MDC_IDC_EPISODE_ID^MDC|12|ATR-5|||||F
 OBX|75|DTM|739552^MDC_IDC_EPISODE_DTM^MDC|12|200101020304|||||F
 OBX|76|CWE|739568^MDC_IDC_EPISODE_TYPE^MDC|12|754883
 ^MDC_IDC_ENUM_EPISODE_TYPE_Epis_ATAF^MDC|||||F
 OBX|77|CWE|739600^MDC_IDC_EPISODE_VENDOR_TYPE^MDC|12|771078
 ^MDC_IDC_ENUM_EPISODE_VENDOR_TYPE_BSX-Epis_ATR^MDC|||||F
 OBX|78|NM|739616^MDC_IDC_EPISODE_ATRIAL_INTERVAL_AT_DETECTION^MDC|12|20000|ms|||||F
 OBX|79|NM|739712^MDC_IDC_EPISODE_DURATION^MDC|12|100|s|||||F
 OBX|80|ST|739680^MDC_IDC_EPISODE_DETECTION_THERAPY_DETAILS^MDC|12|ATR|||||F
 OBX|81|ST|739536^MDC_IDC_EPISODE_ID^MDC|13|V-4|||||F
 OBX|82|DTM|739552^MDC_IDC_EPISODE_DTM^MDC|13|200101020304|||||F
 OBX|83|CWE|739568^MDC_IDC_EPISODE_TYPE^MDC|13|754882
 ^MDC_IDC_ENUM_EPISODE_TYPE_Epis_VT^MDC|||||F
 OBX|84|CWE|739600^MDC_IDC_EPISODE_VENDOR_TYPE^MDC|13|771077
 ^MDC_IDC_ENUM_EPISODE_VENDOR_TYPE_BSX-Epis_NSVT^MDC|||||F
 OBX|85|CWE|739584^MDC_IDC_EPISODE_TYPE_INDUCED^MDC|13|755329
 ^MDC_IDC_ENUM_EPISODE_TYPE_INDUCED_YES^MDC|||||F
 OBX|86|NM|739648^MDC_IDC_EPISODE_VENTRICULAR_INTERVAL_AT_DETECTION
 ^MDC|13|30000|ms|||||F
 OBX|87|NM|739712^MDC_IDC_EPISODE_DURATION^MDC|13|100|s|||||F
 OBX|88|ST|739680^MDC_IDC_EPISODE_DETECTION_THERAPY_DETAILS^MDC|13|NietAanhV|||||F
 OBX|89|ST|739536^MDC_IDC_EPISODE_ID^MDC|14|V-3|||||F
 OBX|90|DTM|739552^MDC_IDC_EPISODE_DTM^MDC|14|200101020304|||||F
 OBX|91|CWE|739568^MDC_IDC_EPISODE_TYPE^MDC|14|754882
 ^MDC_IDC_ENUM_EPISODE_TYPE_Epis_VT^MDC|||||F
 OBX|92|CWE|739600^MDC_IDC_EPISODE_VENDOR_TYPE^MDC|14|771074
 ^MDC_IDC_ENUM_EPISODE_VENDOR_TYPE_BSX-Epis_VT^MDC|||||F
 OBX|93|CWE|739584^MDC_IDC_EPISODE_TYPE_INDUCED^MDC|14|755329
 ^MDC_IDC_ENUM_EPISODE_TYPE_INDUCED_YES^MDC|||||F
 OBX|94|NM|739648^MDC_IDC_EPISODE_VENTRICULAR_INTERVAL_AT_DETECTION
 ^MDC|14|30000|ms|||||F
 OBX|95|NM|739712^MDC_IDC_EPISODE_DURATION^MDC|14|100|s|||||F
 OBX|96|ST|739680^MDC_IDC_EPISODE_DETECTION_THERAPY_DETAILS
 ^MDC|14|VT ATPx1, 0,1J, 0,2J, 31Jx2|||||F
 OBX|97|ST|739536^MDC_IDC_EPISODE_ID^MDC|15|PBR-2|||||F
 OBX|98|DTM|739552^MDC_IDC_EPISODE_DTM^MDC|15|200101020304|||||F
 OBX|99|CWE|739568^MDC_IDC_EPISODE_TYPE^MDC|15|754888
 ^MDC_IDC_ENUM_EPISODE_TYPE_Epis_Other^MDC|||||F
 OBX|100|CWE|739600^MDC_IDC_EPISODE_VENDOR_TYPE^MDC|15|||||F
 OBX|101|NM|739616^MDC_IDC_EPISODE_ATRIAL_INTERVAL_AT_DETECTION
 ^MDC|15|20000|ms|||||F
 OBX|102|NM|739712^MDC_IDC_EPISODE_DURATION^MDC|15|100|s|||||F
 OBX|103|ST|739680^MDC_IDC_EPISODE_DETECTION_THERAPY_DETAILS^MDC|15|PBR|||||F
 OBX|104|ST|739536^MDC_IDC_EPISODE_ID^MDC|16|V-1|||||F

3-8 VOORBEELD VAN IDCO-BESTANDEN
VOORBEELDBERICHT 2 — OVERIGE APPARATEN (NIET S-ICD)

OBX|105|DTM|739552^MDC_IDC_EPISODE_DTM^MDC|16|200101020304|||||F
OBX|106|CWE|739568^MDC_IDC_EPISODE_TYPE^MDC|16|754888
^MDC_IDC_ENUM_EPISODE_TYPE_Epis_Other^MDC|||||F
OBX|107|CWE|739600^MDC_IDC_EPISODE_VENDOR_TYPE^MDC|16|||||F
OBX|108|CWE|739584^MDC_IDC_EPISODE_TYPE_INDUCED^MDC|16|755329
^MDC_IDC_ENUM_EPISODE_TYPE_INDUCED_YES^MDC|||||F
OBX|109|NM|739648^MDC_IDC_EPISODE_VENTRICULAR_INTERVAL_AT_DETECTION
^MDC|16|30000|ms|||||F
OBX|110|NM|739712^MDC_IDC_EPISODE_DURATION^MDC|16|100|s|||||F
OBX|111|ST|739680^MDC_IDC_EPISODE_DETECTION_THERAPY_DETAILS
^MDC|16|Cmnd v Therapie afgegeven|||||F
OBX|112|ED|18750-0^Cardiac Electrophysiology Report^LN||Application^PDF^
^Base64^{encoded PDF included here}|||||F||201001151330-0500
OBX|113|ED|18750-0^Cardiac Electrophysiology Report^LN|4|Application^PDF^
^Base64^{encoded PDF included here}|||||F||201001151330-0500
OBX|114|CWE|720897^MDC_IDC_DEV_TYPE^MDC||753665^MDC_IDC_ENUM_DEV_TYPE_IPG^MDC|||||F
OBX|115|ST|720898^MDC_IDC_DEV_MODEL^MDC||N119|||||F
OBX|116|ST|720899^MDC_IDC_DEV_SERIAL^MDC||900141|||||F
OBX|117|CWE|720900^MDC_IDC_DEV_MFG^MDC||753732^MDC_IDC_ENUM_MFG_BSX^MDC|||||F
OBX|118|DTM|720901^MDC_IDC_DEV_IMPLANT_DT^MDC||20120513|||||F
OBX|119|ST|720961^MDC_IDC_LEAD_MODEL^MDC|1|12345|||||F
OBX|120|ST|720962^MDC_IDC_LEAD_SERIAL^MDC|1|6789|||||F
OBX|121|CWE|720963^MDC_IDC_LEAD_MFG^MDC|1|753731^MDC_IDC_ENUM_MFG_BIO^MDC|||||F
OBX|122|CWE|720965^MDC_IDC_LEAD_POLARITY_TYPE^MDC|1|753793
^MDC_IDC_ENUM_LEAD_POLARITY_TYPE_UNI^MDC|||||F
OBX|123|DTM|720964^MDC_IDC_LEAD_IMPLANT_DT^MDC|1|201205|||||F
OBX|124|CWE|720966^MDC_IDC_LEAD_LOCATION^MDC|1|753858
^MDC_IDC_ENUM_LEAD_LOCATION_CHAMBER_LV^MDC|||||F
OBX|125|CWE|720967^MDC_IDC_LEAD_LOCATION_DETAIL_1^MDC|1|753922
^MDC_IDC_ENUM_LEAD_LOCATION_DETAIL_Apex^MDC|||||F
OBX|126|CWE|720968^MDC_IDC_LEAD_LOCATION_DETAIL_2^MDC|1|753925
^MDC_IDC_ENUM_LEAD_LOCATION_DETAIL_VenaCava^MDC|||||F
OBX|127|ST|720961^MDC_IDC_LEAD_MODEL^MDC|2|12345|||||F
OBX|128|ST|720962^MDC_IDC_LEAD_SERIAL^MDC|2|6789|||||F
OBX|129|CWE|720963^MDC_IDC_LEAD_MFG^MDC|2|753731^MDC_IDC_ENUM_MFG_BIO^MDC|||||F
OBX|130|CWE|720965^MDC_IDC_LEAD_POLARITY_TYPE^MDC|2|753793
^MDC_IDC_ENUM_LEAD_POLARITY_TYPE_UNI^MDC|||||F
OBX|131|DTM|720964^MDC_IDC_LEAD_IMPLANT_DT^MDC|2|201205|||||F
OBX|132|CWE|720966^MDC_IDC_LEAD_LOCATION^MDC|2|753858
^MDC_IDC_ENUM_LEAD_LOCATION_CHAMBER_LV^MDC|||||F
OBX|133|CWE|720967^MDC_IDC_LEAD_LOCATION_DETAIL_1^MDC|2|753922
^MDC_IDC_ENUM_LEAD_LOCATION_DETAIL_Apex^MDC|||||F
OBX|134|CWE|720968^MDC_IDC_LEAD_LOCATION_DETAIL_2^MDC|2|753925
^MDC_IDC_ENUM_LEAD_LOCATION_DETAIL_VenaCava^MDC|||||F
OBX|135|ST|720961^MDC_IDC_LEAD_MODEL^MDC|3|12345|||||F
OBX|136|ST|720962^MDC_IDC_LEAD_SERIAL^MDC|3|6789|||||F
OBX|137|CWE|720963^MDC_IDC_LEAD_MFG^MDC|3|753731^MDC_IDC_ENUM_MFG_BIO^MDC|||||F
OBX|138|CWE|720965^MDC_IDC_LEAD_POLARITY_TYPE^MDC|3|753793
^MDC_IDC_ENUM_LEAD_POLARITY_TYPE_UNI^MDC|||||F
OBX|139|DTM|720964^MDC_IDC_LEAD_IMPLANT_DT^MDC|3|201205|||||F
OBX|140|CWE|720966^MDC_IDC_LEAD_LOCATION^MDC|3|753858
^MDC_IDC_ENUM_LEAD_LOCATION_CHAMBER_LV^MDC|||||F
OBX|141|CWE|720967^MDC_IDC_LEAD_LOCATION_DETAIL_1^MDC|3|753922
^MDC_IDC_ENUM_LEAD_LOCATION_DETAIL_Apex^MDC|||||F
OBX|142|CWE|720968^MDC_IDC_LEAD_LOCATION_DETAIL_2^MDC|3|753925
^MDC_IDC_ENUM_LEAD_LOCATION_DETAIL_VenaCava^MDC|||||F
OBX|143|ST|720961^MDC_IDC_LEAD_MODEL^MDC|4|12345|||||F
OBX|144|ST|720962^MDC_IDC_LEAD_SERIAL^MDC|4|6789|||||F
OBX|145|CWE|720963^MDC_IDC_LEAD_MFG^MDC|4|753731^MDC_IDC_ENUM_MFG_BIO^MDC|||||F

OBX|146|CWE|720965^MDC_IDC_LEAD_POLARITY_TYPE^MDC|4|753793
 ^MDC_IDC_ENUM_LEAD_POLARITY_TYPE_UNI^MDC|||||F
 OBX|147|DTM|720964^MDC_IDC_LEAD_IMPLANT_DT^MDC|4|201205|||||F
 OBX|148|CWE|720966^MDC_IDC_LEAD_LOCATION^MDC|4|753858
 ^MDC_IDC_ENUM_LEAD_LOCATION_CHAMBER_LV^MDC|||||F
 OBX|149|CWE|720967^MDC_IDC_LEAD_LOCATION_DETAIL_1^MDC|4|753922
 ^MDC_IDC_ENUM_LEAD_LOCATION_DETAIL_Apex^MDC|||||F
 OBX|150|CWE|720968^MDC_IDC_LEAD_LOCATION_DETAIL_2^MDC|4|753925
 ^MDC_IDC_ENUM_LEAD_LOCATION_DETAIL_VenaCava^MDC|||||F
 OBX|151|ST|720961^MDC_IDC_LEAD_MODEL^MDC|5|12345|||||F
 OBX|152|ST|720962^MDC_IDC_LEAD_SERIAL^MDC|5|6789|||||F
 OBX|153|CWE|720963^MDC_IDC_LEAD_MFG^MDC|5|753731^MDC_IDC_ENUM_MFG_BIO^MDC|||||F
 OBX|154|CWE|720965^MDC_IDC_LEAD_POLARITY_TYPE^MDC|5|753793
 ^MDC_IDC_ENUM_LEAD_POLARITY_TYPE_UNI^MDC|||||F
 OBX|155|DTM|720964^MDC_IDC_LEAD_IMPLANT_DT^MDC|5|201205|||||F
 OBX|156|CWE|720966^MDC_IDC_LEAD_LOCATION^MDC|5|753858
 ^MDC_IDC_ENUM_LEAD_LOCATION_CHAMBER_LV^MDC|||||F
 OBX|157|CWE|720967^MDC_IDC_LEAD_LOCATION_DETAIL_1^MDC|5|753922
 ^MDC_IDC_ENUM_LEAD_LOCATION_DETAIL_Apex^MDC|||||F
 OBX|158|CWE|720968^MDC_IDC_LEAD_LOCATION_DETAIL_2^MDC|5|753925
 ^MDC_IDC_ENUM_LEAD_LOCATION_DETAIL_VenaCava^MDC|||||F
 OBX|159|ST|720961^MDC_IDC_LEAD_MODEL^MDC|6|12345|||||F
 OBX|160|ST|720962^MDC_IDC_LEAD_SERIAL^MDC|6|6789|||||F
 OBX|161|CWE|720963^MDC_IDC_LEAD_MFG^MDC|6|753731^MDC_IDC_ENUM_MFG_BIO^MDC|||||F
 OBX|162|CWE|720965^MDC_IDC_LEAD_POLARITY_TYPE^MDC|6|753793
 ^MDC_IDC_ENUM_LEAD_POLARITY_TYPE_UNI^MDC|||||F
 OBX|163|DTM|720964^MDC_IDC_LEAD_IMPLANT_DT^MDC|6|201205|||||F
 OBX|164|CWE|720966^MDC_IDC_LEAD_LOCATION^MDC|6|753858
 ^MDC_IDC_ENUM_LEAD_LOCATION_CHAMBER_LV^MDC|||||F
 OBX|165|CWE|720967^MDC_IDC_LEAD_LOCATION_DETAIL_1^MDC|6|753922
 ^MDC_IDC_ENUM_LEAD_LOCATION_DETAIL_Apex^MDC|||||F
 OBX|166|CWE|720968^MDC_IDC_LEAD_LOCATION_DETAIL_2^MDC|6|753925
 ^MDC_IDC_ENUM_LEAD_LOCATION_DETAIL_VenaCava^MDC|||||F
 OBX|167|DTM|721025^MDC_IDC_SESS_DTM^MDC||201001021310-0600|||||F
 OBX|168|CWE|721026^MDC_IDC_SESS_TYPE^MDC||754052
 ^MDC_IDC_ENUM_SESS_TYPE_RemoteDeviceInitiated^MDC|||||F
 OBX|169|ST|721033^MDC_IDC_SESS_CLINIC_NAME
 ^MDC||abcdefghijklmnopqrstuvwxyzabcdefghijklmnopqrstuwx|||||F
 OBX|170|DTM|721216^MDC_IDC_MSMT_BATTERY_DTM^MDC||201205221755+0000|||||F
 OBX|171|CWE|721280^MDC_IDC_MSMT_BATTERY_STATUS^MDC||754113
 ^MDC_IDC_ENUM_BATTERY_STATUS_BOS^MDC|||||F
 OBX|172|NM|721472^MDC_IDC_MSMT_BATTERY_REMAINING_LONGEVITY^MDC||132|mo||>||||F
 OBX|173|NM|721536^MDC_IDC_MSMT_BATTERY_REMAINING_PERCENTAGE^MDC||100|%|||||F
 OBX|174|DTM|721664^MDC_IDC_MSMT_CAP_CHARGE_DTM^MDC||201205221755|||||F
 OBX|175|NM|721728^MDC_IDC_MSMT_CAP_CHARGE_TIME^MDC||3.0|s|||||F
 OBX|176|CWE|721856^MDC_IDC_MSMT_CAP_CHARGE_TYPE^MDC||754178
 ^MDC_IDC_ENUM_CHARGE_TYPE_Reformation^MDC|||||F
 OBX|177|DTM|721921^MDC_IDC_MSMT_LEADCHNL_RA_DTM_START^MDC||20121211|||||F
 OBX|178|DTM|721922^MDC_IDC_MSMT_LEADCHNL_RA_DTM_END^MDC||20121211|||||F
 OBX|179|CWE|721984^MDC_IDC_MSMT_LEADCHNL_RA_LEAD_CHANNEL_STATUS^MDC||754241
 ^MDC_IDC_ENUM_CHANNEL_STATUS_CheckLead^MDC|||||F
 OBX|180|NM|722051
 ^MDC_IDC_MSMT_LEADCHNL_RA_SENSING_INTR_AMPL_MEAN^MDC|||mV||NAV|||F|||20121211
 OBX|181|DTM|721925^MDC_IDC_MSMT_LEADCHNL_RV_DTM_START^MDC||19990102|||||F
 OBX|182|DTM|721926^MDC_IDC_MSMT_LEADCHNL_RV_DTM_END^MDC||20121211|||||F
 OBX|183|CWE|721985^MDC_IDC_MSMT_LEADCHNL_RV_LEAD_CHANNEL_STATUS^MDC||754241
 ^MDC_IDC_ENUM_CHANNEL_STATUS_CheckLead^MDC|||||F
 OBX|184|NM|722055
 ^MDC_IDC_MSMT_LEADCHNL_RV_SENSING_INTR_AMPL_MEAN^MDC||0.1|mV||<|||F|||20121211

```

OBX|185|DTM|721933^MDC_IDC_MSMT_LEADCHNL_LV_DTM_START^MDC||19990102|||||F
OBX|186|DTM|721934^MDC_IDC_MSMT_LEADCHNL_LV_DTM_END^MDC||20121211|||||F
OBX|187|CWE|721987^MDC_IDC_MSMT_LEADCHNL_LV_LEAD_CHANNEL_STATUS^MDC||754241
^MDC_IDC_ENUM_CHANNEL_STATUS_CheckLead^MDC|||||F
OBX|188|NM|722063^MDC_IDC_MSMT_LEADCHNL_LV_SENSING_INTR_AMPL_MEAN
^MDC||25.0|mV||>|||F|||20121211
OBX|189|CWE|722112^MDC_IDC_MSMT_LEADCHNL_RA_SENSING_POLARITY^MDC||754305
^MDC_IDC_ENUM_POLARITY_UNI^MDC|||||F
OBX|190|CWE|722113^MDC_IDC_MSMT_LEADCHNL_RV_SENSING_POLARITY^MDC||754306
^MDC_IDC_ENUM_POLARITY_BI^MDC|||||F
OBX|191|CWE|722115^MDC_IDC_MSMT_LEADCHNL_LV_SENSING_POLARITY^MDC|||||OFF|||F
OBX|192|NM|722176^MDC_IDC_MSMT_LEADCHNL_RA_PACING_THRESHOLD_AMPLITUDE
^MDC|||V||NAV|||F|||20121211
OBX|193|NM|722177^MDC_IDC_MSMT_LEADCHNL_RV_PACING_THRESHOLD_AMPLITUDE
^MDC||3.0|V||>|||F|||20121211
OBX|194|NM|722179^MDC_IDC_MSMT_LEADCHNL_LV_PACING_THRESHOLD_AMPLITUDE
^MDC||0.0|V|||F|||20121210
OBX|195|NM|722240^MDC_IDC_MSMT_LEADCHNL_RA_PACING_THRESHOLD_PULSEWIDTH
^MDC||ms||NAV|||F|||19990102
OBX|196|NM|722241^MDC_IDC_MSMT_LEADCHNL_RV_PACING_THRESHOLD_PULSEWIDTH
^MDC||0.4|ms|||F|||19990102
OBX|197|NM|722243^MDC_IDC_MSMT_LEADCHNL_LV_PACING_THRESHOLD_PULSEWIDTH
^MDC||0.4|ms|||F|||19990102
OBX|198|CWE|722304^MDC_IDC_MSMT_LEADCHNL_RA_PACING_THRESHOLD_MEASUREMENT_METHOD
^MDC||754369^MDC_IDC_ENUM_MEASUREMENT_METHOD_ProgrammerManual^MDC|||||F
OBX|199|CWE|722305^MDC_IDC_MSMT_LEADCHNL_RV_PACING_THRESHOLD_MEASUREMENT_METHOD
^MDC||754369^MDC_IDC_ENUM_MEASUREMENT_METHOD_ProgrammerManual^MDC|||||F
OBX|200|CWE|722307^MDC_IDC_MSMT_LEADCHNL_LV_PACING_THRESHOLD_MEASUREMENT_METHOD
^MDC||754369^MDC_IDC_ENUM_MEASUREMENT_METHOD_ProgrammerManual^MDC|||||F
OBX|201|CWE|722368^MDC_IDC_MSMT_LEADCHNL_RA_PACING_THRESHOLD_POLARITY^MDC||754305
^MDC_IDC_ENUM_POLARITY_UNI^MDC|||||F
OBX|202|CWE|722369^MDC_IDC_MSMT_LEADCHNL_RV_PACING_THRESHOLD_POLARITY^MDC||754306
^MDC_IDC_ENUM_POLARITY_BI^MDC|||||F
OBX|203|CWE|722371^MDC_IDC_MSMT_LEADCHNL_LV_PACING_THRESHOLD_POLARITY^MDC||754306
^MDC_IDC_ENUM_POLARITY_BI^MDC|||||F
OBX|204|NM|722432^MDC_IDC_MSMT_LEADCHNL_RA_IMPEDANCE_VALUE
^MDC||200|ohms||<|||F|||20121211
OBX|205|NM|722433^MDC_IDC_MSMT_LEADCHNL_RV_IMPEDANCE_VALUE
^MDC||2000|ohms||>|||F|||20121211
OBX|206|NM|722435^MDC_IDC_MSMT_LEADCHNL_LV_IMPEDANCE_VALUE
^MDC||201|ohms|||F|||20121209
OBX|207|CWE|722496^MDC_IDC_MSMT_LEADCHNL_RA_IMPEDANCE_POLARITY^MDC||754305
^MDC_IDC_ENUM_POLARITY_UNI^MDC|||||F
OBX|208|CWE|722497^MDC_IDC_MSMT_LEADCHNL_RV_IMPEDANCE_POLARITY^MDC||754305
^MDC_IDC_ENUM_POLARITY_UNI^MDC|||||F
OBX|209|CWE|722499^MDC_IDC_MSMT_LEADCHNL_LV_IMPEDANCE_POLARITY^MDC||754306
^MDC_IDC_ENUM_POLARITY_BI^MDC|||||F
OBX|210|DTM|722560^MDC_IDC_MSMT_LEADHVCHNL_DTM_START^MDC||1|20121109|||||F
OBX|211|NM|722624^MDC_IDC_MSMT_LEADHVCHNL_IMPEDANCE^MDC||1|ohms||NAV|||F
OBX|212|CWE|722688^MDC_IDC_MSMT_LEADHVCHNL_MEASUREMENT_TYPE^MDC||1|754433
^MDC_IDC_ENUM_HVCHNL_MEASUREMENT_TYPE_LowVoltage^MDC|||||F
OBX|213|CWE|722752^MDC_IDC_MSMT_LEADHVCHNL_STATUS^MDC||1|754241
^MDC_IDC_ENUM_CHANNEL_STATUS_CheckLead^MDC|||||F
OBX|214|NM|729344^MDC_IDC_SET_CRT_LVRV_DELAY^MDC||-100|ms|||||F
OBX|215|CWE|729408^MDC_IDC_SET_CRT_PACED_CHAMBERS^MDC||755265
^MDC_IDC_ENUM_CRT_PACED_CHAMBERS_RV_Only^MDC|||||F
OBX|216|NM|729536^MDC_IDC_SET_LEADCHNL_RA_SENSING_SENSITIVITY^MDC||0.5|mV|||||F
OBX|217|NM|729537^MDC_IDC_SET_LEADCHNL_RV_SENSING_SENSITIVITY^MDC||0.9|mV|||||F
OBX|218|NM|729539^MDC_IDC_SET_LEADCHNL_LV_SENSING_SENSITIVITY^MDC||1.0|mV|||||F

```

OBX|219|CWE|729600^MDC_IDC_SET_LEADCHNL_RA_SENSING_POLARITY^MDC||||OFF|||F
 OBX|220|CWE|729601^MDC_IDC_SET_LEADCHNL_RV_SENSING_POLARITY^MDC||754305
 ^MDC_IDC_ENUM_POLARITY_UNI^MDC|||||F
 OBX|221|CWE|729676^MDC_IDC_SET_LEADCHNL_LV_SENSING_ANODE_LOCATION^MDC||754498
 ^MDC_IDC_ENUM_ELECTRODE_LOCATION_RV^MDC|||||F
 OBX|222|CWE|729740^MDC_IDC_SET_LEADCHNL_LV_SENSING_ANODE_ELECTRODE^MDC||||OFF|||F
 OBX|223|CWE|729804^MDC_IDC_SET_LEADCHNL_LV_SENSING_CATHODE_LOCATION^MDC||||OFF|||F
 OBX|224|CWE|729868^MDC_IDC_SET_LEADCHNL_LV_SENSING_CATHODE_ELECTRODE^MDC||754561
 ^MDC_IDC_ENUM_ELECTRODE_NAME_Tip^MDC|||||F
 OBX|225|CWE|729920^MDC_IDC_SET_LEADCHNL_RA_SENSING_ADAPTATION_MODE^MDC||754625
 ^MDC_IDC_ENUM_SENSING_ADAPTATION_MODE_AdaptiveSensing^MDC|||||F
 OBX|226|CWE|729921^MDC_IDC_SET_LEADCHNL_RV_SENSING_ADAPTATION_MODE^MDC||754625
 ^MDC_IDC_ENUM_SENSING_ADAPTATION_MODE_AdaptiveSensing^MDC|||||F
 OBX|227|CWE|729923^MDC_IDC_SET_LEADCHNL_LV_SENSING_ADAPTATION_MODE^MDC||754626
 ^MDC_IDC_ENUM_SENSING_ADAPTATION_MODE_FixedSensing^MDC|||||F
 OBX|228|NM|729984^MDC_IDC_SET_LEADCHNL_RA_PACING_AMPLITUDE^MDC||5.1|V|||||F
 OBX|229|NM|729985^MDC_IDC_SET_LEADCHNL_RV_PACING_AMPLITUDE^MDC||5.0|V|||||F
 OBX|230|NM|729987^MDC_IDC_SET_LEADCHNL_LV_PACING_AMPLITUDE^MDC||2.8|V|||||F
 OBX|231|NM|730048^MDC_IDC_SET_LEADCHNL_RA_PACING_PULSEWIDTH^MDC||100.0|ms|||||F
 OBX|232|NM|730049^MDC_IDC_SET_LEADCHNL_RV_PACING_PULSEWIDTH^MDC||200.0|ms|||||F
 OBX|233|NM|730051^MDC_IDC_SET_LEADCHNL_LV_PACING_PULSEWIDTH^MDC||300.0|ms|||||F
 OBX|234|CWE|730112^MDC_IDC_SET_LEADCHNL_RA_PACING_POLARITY^MDC||754305
 ^MDC_IDC_ENUM_POLARITY_UNI^MDC|||||F
 OBX|235|CWE|730113^MDC_IDC_SET_LEADCHNL_RV_PACING_POLARITY^MDC||754305
 ^MDC_IDC_ENUM_POLARITY_UNI^MDC|||||F
 OBX|236|CWE|730188^MDC_IDC_SET_LEADCHNL_LV_PACING_ANODE_LOCATION^MDC||754498
 ^MDC_IDC_ENUM_ELECTRODE_LOCATION_RV^MDC|||||F
 OBX|237|CWE|730252^MDC_IDC_SET_LEADCHNL_LV_PACING_ANODE_ELECTRODE^MDC||754564
 ^MDC_IDC_ENUM_ELECTRODE_NAME_Ring2^MDC|||||F
 OBX|238|CWE|730316^MDC_IDC_SET_LEADCHNL_LV_PACING_CATHODE_LOCATION^MDC||754500
 ^MDC_IDC_ENUM_ELECTRODE_LOCATION_LV^MDC|||||F
 OBX|239|CWE|730380^MDC_IDC_SET_LEADCHNL_LV_PACING_CATHODE_ELECTRODE^MDC||754566
 ^MDC_IDC_ENUM_ELECTRODE_NAME_Ring4^MDC|||||F
 OBX|240|CWE|730432^MDC_IDC_SET_LEADCHNL_RA_PACING_CAPTURE_MODE^MDC||754690
 ^MDC_IDC_ENUM_PACING_CAPTURE_MODE_FixedPacing^MDC|||||F
 OBX|241|CWE|730433^MDC_IDC_SET_LEADCHNL_RV_PACING_CAPTURE_MODE^MDC||754691
 ^MDC_IDC_ENUM_PACING_CAPTURE_MODE_MonitorCapture^MDC|||||F
 OBX|242|CWE|730435^MDC_IDC_SET_LEADCHNL_LV_PACING_CAPTURE_MODE^MDC||754690
 ^MDC_IDC_ENUM_PACING_CAPTURE_MODE_FixedPacing^MDC|||||F
 OBX|243|CWE|730752^MDC_IDC_SET_BRADY_MODE^MDC||754760^MDC_IDC_ENUM_BRADY_MODE_DDD
 ^MDC|||||F
 OBX|244|NM|730880^MDC_IDC_SET_BRADY_LOWRATE^MDC||100|{beats}/min|||||F
 OBX|245|ST|731072^MDC_IDC_SET_BRADY_SENSOR_TYPE^MDC||Accelerometer + MV|||||F
 OBX|246|NM|731136^MDC_IDC_SET_BRADY_MAX_TRACKING_RATE^MDC||130|{beats}/min|||||F
 OBX|247|NM|731200^MDC_IDC_SET_BRADY_MAX_SENSOR_RATE^MDC||180|{beats}/min|||||F
 OBX|248|NM|731265^MDC_IDC_SET_BRADY_SAV_DELAY_HIGH^MDC||102|ms|||||F
 OBX|249|NM|731266^MDC_IDC_SET_BRADY_SAV_DELAY_LOW^MDC||101|ms|||||F
 OBX|250|NM|731329^MDC_IDC_SET_BRADY_PAV_DELAY_HIGH^MDC||104|ms|||||F
 OBX|251|NM|731330^MDC_IDC_SET_BRADY_PAV_DELAY_LOW^MDC||103|ms|||||F
 OBX|252|CWE|731392^MDC_IDC_SET_BRADY_AT_MODE_SWITCH_MODE^MDC||754763
 ^MDC_IDC_ENUM_BRADY_MODE_DDIR^MDC|||||F
 OBX|253|NM|731456^MDC_IDC_SET_BRADY_AT_MODE_SWITCH_RATE^MDC||130|{beats}/min|||||F
 OBX|254|CWE|731520^MDC_IDC_SET_TACHYTHERAPY_VSTAT^MDC||754817
 ^MDC_IDC_ENUM_THERAPY_STATUS_On^MDC|||||F
 OBX|255|CWE|731648^MDC_IDC_SET_ZONE_TYPE^MDC|1|754945^MDC_IDC_ENUM_ZONE_TYPE_Zone_VF
 ^MDC|||||F
 OBX|256|CWE|731712^MDC_IDC_SET_ZONE_VENDOR_TYPE^MDC|1|771139
 ^MDC_IDC_ENUM_ZONE_VENDOR_TYPE_BSX-Zone_VF^MDC|||||F
 OBX|257|CWE|731776^MDC_IDC_SET_ZONE_STATUS^MDC|1|755009

```
^MDC_IDC_ENUM_ZONE_STATUS_Active^MDC|||||F
OBX|258|NM|731840^MDC_IDC_SET_ZONE_DETECTION_INTERVAL^MDC|1|462|ms|||||F
OBX|259|CWE|732097^MDC_IDC_SET_ZONE_TYPE_ATP_1^MDC|1|755073
^MDC_IDC_ENUM_ATP_TYPE_Burst^MDC|||||F
OBX|260|NM|732161^MDC_IDC_SET_ZONE_NUM_ATP_SEQS_1^MDC|1|1|||||F
OBX|261|NM|732225^MDC_IDC_SET_ZONE_SHOCK_ENERGY_1^MDC|1|21.1|J|||||F
OBX|262|NM|732289^MDC_IDC_SET_ZONE_NUM_SHOCKS_1^MDC|1|1|||||F
OBX|263|NM|732226^MDC_IDC_SET_ZONE_SHOCK_ENERGY_2^MDC|1|31.1|J|||||F
OBX|264|NM|732290^MDC_IDC_SET_ZONE_NUM_SHOCKS_2^MDC|1|1|||||F
OBX|265|NM|732227^MDC_IDC_SET_ZONE_SHOCK_ENERGY_3^MDC|1|41.1|J|||||F
OBX|266|NM|732291^MDC_IDC_SET_ZONE_NUM_SHOCKS_3^MDC|1|6|||||F
OBX|267|CWE|731648^MDC_IDC_SET_ZONE_TYPE^MDC|2|754946^MDC_IDC_ENUM_ZONE_TYPE_Zone_VT
^MDC|||||F
OBX|268|CWE|731712^MDC_IDC_SET_ZONE_VENDOR_TYPE^MDC|2|771137
^MDC_IDC_ENUM_ZONE_VENDOR_TYPE_BSX-Zone_VT^MDC|||||F
OBX|269|CWE|731776^MDC_IDC_SET_ZONE_STATUS^MDC|2|755009
^MDC_IDC_ENUM_ZONE_STATUS_Active^MDC|||||F
OBX|270|NM|731840^MDC_IDC_SET_ZONE_DETECTION_INTERVAL^MDC|2|463|ms|||||F
OBX|271|CWE|732097^MDC_IDC_SET_ZONE_TYPE_ATP_1^MDC|2|755073
^MDC_IDC_ENUM_ATP_TYPE_Burst^MDC|||||F
OBX|272|NM|732161^MDC_IDC_SET_ZONE_NUM_ATP_SEQS_1^MDC|2|2|||||F
OBX|273|CWE|732098^MDC_IDC_SET_ZONE_TYPE_ATP_2^MDC|2|755074
^MDC_IDC_ENUM_ATP_TYPE_Ramp^MDC|||||F
OBX|274|NM|732162^MDC_IDC_SET_ZONE_NUM_ATP_SEQS_2^MDC|2|3|||||F
OBX|275|NM|732225^MDC_IDC_SET_ZONE_SHOCK_ENERGY_1^MDC|2|22.2|J|||||F
OBX|276|NM|732289^MDC_IDC_SET_ZONE_NUM_SHOCKS_1^MDC|2|1|||||F
OBX|277|NM|732226^MDC_IDC_SET_ZONE_SHOCK_ENERGY_2^MDC|2|32.2|J|||||F
OBX|278|NM|732290^MDC_IDC_SET_ZONE_NUM_SHOCKS_2^MDC|2|1|||||F
OBX|279|NM|732227^MDC_IDC_SET_ZONE_SHOCK_ENERGY_3^MDC|2|42.2|J|||||F
OBX|280|NM|732291^MDC_IDC_SET_ZONE_NUM_SHOCKS_3^MDC|2|3|||||F
OBX|281|CWE|731648^MDC_IDC_SET_ZONE_TYPE^MDC|3|754946^MDC_IDC_ENUM_ZONE_TYPE_Zone_VT
^MDC|||||F
OBX|282|CWE|731712^MDC_IDC_SET_ZONE_VENDOR_TYPE^MDC|3|771138
^MDC_IDC_ENUM_ZONE_VENDOR_TYPE_BSX-Zone_VT^MDC|||||F
OBX|283|CWE|731776^MDC_IDC_SET_ZONE_STATUS^MDC|3|755009
^MDC_IDC_ENUM_ZONE_STATUS_Active^MDC|||||F
OBX|284|NM|731840^MDC_IDC_SET_ZONE_DETECTION_INTERVAL^MDC|3|465|ms|||||F
OBX|285|CWE|732097^MDC_IDC_SET_ZONE_TYPE_ATP_1^MDC|3|755074
^MDC_IDC_ENUM_ATP_TYPE_Ramp^MDC|||||F
OBX|286|NM|732161^MDC_IDC_SET_ZONE_NUM_ATP_SEQS_1^MDC|3|4|||||F
OBX|287|CWE|732098^MDC_IDC_SET_ZONE_TYPE_ATP_2^MDC|3|755076
^MDC_IDC_ENUM_ATP_TYPE_RampScan^MDC|||||F
OBX|288|NM|732162^MDC_IDC_SET_ZONE_NUM_ATP_SEQS_2^MDC|3|5|||||F
OBX|289|NM|732225^MDC_IDC_SET_ZONE_SHOCK_ENERGY_1^MDC|3|23.2|J|||||F
OBX|290|NM|732289^MDC_IDC_SET_ZONE_NUM_SHOCKS_1^MDC|3|1|||||F
OBX|291|NM|732226^MDC_IDC_SET_ZONE_SHOCK_ENERGY_2^MDC|3|33.2|J|||||F
OBX|292|NM|732290^MDC_IDC_SET_ZONE_NUM_SHOCKS_2^MDC|3|1|||||F
OBX|293|NM|732227^MDC_IDC_SET_ZONE_SHOCK_ENERGY_3^MDC|3|43.2|J|||||F
OBX|294|NM|732291^MDC_IDC_SET_ZONE_NUM_SHOCKS_3^MDC|3|2|||||F
OBX|295|DTM|737489^MDC_IDC_STAT_DTM_START^MDC||20120522|||||F
OBX|296|DTM|737490^MDC_IDC_STAT_DTM_END^MDC||20120522|||||F
OBX|297|DTM|737505^MDC_IDC_STAT_BRADY_DTM_START^MDC||20120522|||||F
OBX|298|DTM|737506^MDC_IDC_STAT_BRADY_DTM_END^MDC||20120522|||||F
OBX|299|NM|737520^MDC_IDC_STAT_BRADY_RA_PERCENT_PACED^MDC||0|%|||||F
OBX|300|NM|737536^MDC_IDC_STAT_BRADY_RV_PERCENT_PACED^MDC||0|%|||||F
OBX|301|DTM|737777^MDC_IDC_STAT_CRT_DTM_START^MDC||20120522|||||F
OBX|302|DTM|737778^MDC_IDC_STAT_CRT_DTM_END^MDC||20120522|||||F
OBX|303|NM|737792^MDC_IDC_STAT_CRT_LV_PERCENT_PACED^MDC||0|%|||||F
OBX|304|CWE|737952^MDC_IDC_STAT_EPISODE_TYPE^MDC|1|754882
```



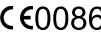
```

^MDC_IDC_ENUM_EPISODE_TYPE_Epis_VT^MDC|||||F
OBX|305|CWE|737984^MDC_IDC_STAT_EPISODE_VENDOR_TYPE^MDC|1|771077
^MDC_IDC_ENUM_EPISODE_VENDOR_TYPE_BSX-Epis_NSVT^MDC|||||F
OBX|306|NM|738000^MDC_IDC_STAT_EPISODE_RECENT_COUNT^MDC|1|0|||||F
OBX|307|DTM|738017^MDC_IDC_STAT_EPISODE_RECENT_COUNT_DTM_START^MDC|1|20120522|||||F
OBX|308|DTM|738018^MDC_IDC_STAT_EPISODE_RECENT_COUNT_DTM_END^MDC|1|20120522|||||F
OBX|309|CWE|737952^MDC_IDC_STAT_EPISODE_TYPE^MDC|1|754882
^MDC_IDC_ENUM_EPISODE_TYPE_Epis_VT^MDC|||||F
OBX|310|CWE|737984^MDC_IDC_STAT_EPISODE_VENDOR_TYPE^MDC|1|||||F
OBX|311|NM|738000^MDC_IDC_STAT_EPISODE_RECENT_COUNT^MDC|1|0|||||F
OBX|312|DTM|738017^MDC_IDC_STAT_EPISODE_RECENT_COUNT_DTM_START^MDC|1|20120522|||||F
OBX|313|DTM|738018^MDC_IDC_STAT_EPISODE_RECENT_COUNT_DTM_END^MDC|1|20120522|||||F
OBX|314|CWE|737952^MDC_IDC_STAT_EPISODE_TYPE^MDC|2|754884
^MDC_IDC_ENUM_EPISODE_TYPE_Epis_SVT^MDC|||||F
OBX|315|CWE|737984^MDC_IDC_STAT_EPISODE_VENDOR_TYPE^MDC|2|771076
^MDC_IDC_ENUM_EPISODE_VENDOR_TYPE_BSX-Epis_SVT^MDC|||||F
OBX|316|NM|738000^MDC_IDC_STAT_EPISODE_RECENT_COUNT^MDC|2|0|||||F
OBX|317|DTM|738017^MDC_IDC_STAT_EPISODE_RECENT_COUNT_DTM_START^MDC|2|20120522|||||F
OBX|318|DTM|738018^MDC_IDC_STAT_EPISODE_RECENT_COUNT_DTM_END^MDC|2|20120522|||||F
OBX|319|CWE|737952^MDC_IDC_STAT_EPISODE_TYPE^MDC|4|754883
^MDC_IDC_ENUM_EPISODE_TYPE_Epis_ATAF^MDC|||||F
OBX|320|CWE|737984^MDC_IDC_STAT_EPISODE_VENDOR_TYPE^MDC|4|771078
^MDC_IDC_ENUM_EPISODE_VENDOR_TYPE_BSX-Epis_ATR^MDC|||||F
OBX|321|NM|738000^MDC_IDC_STAT_EPISODE_RECENT_COUNT^MDC|4|0|||||F
OBX|322|DTM|738017^MDC_IDC_STAT_EPISODE_RECENT_COUNT_DTM_START^MDC|4|20120522|||||F
OBX|323|DTM|738018^MDC_IDC_STAT_EPISODE_RECENT_COUNT_DTM_END^MDC|4|20120522|||||F
OBX|324|CWE|737952^MDC_IDC_STAT_EPISODE_TYPE^MDC|5|754888
^MDC_IDC_ENUM_EPISODE_TYPE_Epis_Other^MDC|||||F
OBX|325|CWE|737984^MDC_IDC_STAT_EPISODE_VENDOR_TYPE^MDC|5|||||F
OBX|326|NM|738000^MDC_IDC_STAT_EPISODE_RECENT_COUNT^MDC|5|0|||||F
OBX|327|DTM|738017^MDC_IDC_STAT_EPISODE_RECENT_COUNT_DTM_START^MDC|5|20120522|||||F
OBX|328|DTM|738018^MDC_IDC_STAT_EPISODE_RECENT_COUNT_DTM_END^MDC|5|20120522|||||F
OBX|329|CWE|737952^MDC_IDC_STAT_EPISODE_TYPE^MDC|6|754881
^MDC_IDC_ENUM_EPISODE_TYPE_Epis_VF^MDC|||||F
OBX|330|CWE|737984^MDC_IDC_STAT_EPISODE_VENDOR_TYPE^MDC|6|771073
^MDC_IDC_ENUM_EPISODE_VENDOR_TYPE_BSX-Epis_VF^MDC|||||F
OBX|331|NM|738000^MDC_IDC_STAT_EPISODE_RECENT_COUNT^MDC|6|1|||||F
OBX|332|DTM|738017^MDC_IDC_STAT_EPISODE_RECENT_COUNT_DTM_START^MDC|6|20120522|||||F
OBX|333|DTM|738018^MDC_IDC_STAT_EPISODE_RECENT_COUNT_DTM_END^MDC|6|20120522|||||F
OBX|334|CWE|737952^MDC_IDC_STAT_EPISODE_TYPE^MDC|7|754882
^MDC_IDC_ENUM_EPISODE_TYPE_Epis_VT^MDC|||||F
OBX|335|CWE|737984^MDC_IDC_STAT_EPISODE_VENDOR_TYPE^MDC|7|771074
^MDC_IDC_ENUM_EPISODE_VENDOR_TYPE_BSX-Epis_VT^MDC|||||F
OBX|336|NM|738000^MDC_IDC_STAT_EPISODE_RECENT_COUNT^MDC|7|2|||||F
OBX|337|DTM|738017^MDC_IDC_STAT_EPISODE_RECENT_COUNT_DTM_START^MDC|7|20120522|||||F
OBX|338|DTM|738018^MDC_IDC_STAT_EPISODE_RECENT_COUNT_DTM_END^MDC|7|20120522|||||F
OBX|339|CWE|737952^MDC_IDC_STAT_EPISODE_TYPE^MDC|8|754882
^MDC_IDC_ENUM_EPISODE_TYPE_Epis_VT^MDC|||||F
OBX|340|CWE|737984^MDC_IDC_STAT_EPISODE_VENDOR_TYPE^MDC|8|771075
^MDC_IDC_ENUM_EPISODE_VENDOR_TYPE_BSX-Epis_VT-1^MDC|||||F
OBX|341|NM|738000^MDC_IDC_STAT_EPISODE_RECENT_COUNT^MDC|8|3|||||F
OBX|342|DTM|738017^MDC_IDC_STAT_EPISODE_RECENT_COUNT_DTM_START^MDC|8|20120522|||||F
OBX|343|DTM|738018^MDC_IDC_STAT_EPISODE_RECENT_COUNT_DTM_END^MDC|8|20120522|||||F
OBX|344|CWE|737952^MDC_IDC_STAT_EPISODE_TYPE^MDC|9|754884
^MDC_IDC_ENUM_EPISODE_TYPE_Epis_Monitor^MDC|||||F
OBX|345|CWE|737984^MDC_IDC_STAT_EPISODE_VENDOR_TYPE^MDC|9|||||F
OBX|346|NM|738000^MDC_IDC_STAT_EPISODE_RECENT_COUNT^MDC|9|4|||||F
OBX|347|DTM|738017^MDC_IDC_STAT_EPISODE_RECENT_COUNT_DTM_START^MDC|9|20120522|||||F
OBX|348|DTM|738018^MDC_IDC_STAT_EPISODE_RECENT_COUNT_DTM_END^MDC|9|20120522|||||F
    
```

Outdated version. Do not use.
Version überholt. Nicht verwenden.
Version obsolète. Ne pas utiliser.
Versión obsoleta. No utilizar.
Versione obsoleta. Non utilizzate.
Verouderde versie. Niet gebruiken.
Föråldrad version. Använd ej.
Παλιά έκδοση. Μην την χρησιμοποιείτε.
Versão obsoleta. Não utilize.
Forældet version. Må ikke anvendes.
Zastaralá verze. Nepoužívat.
Utdatert versjon. Skal ikke brukes.
Zastaraná verzia. Nepoužívať.
Elavult verzió. Ne használja!
Wersja nieaktualna. Nie używać.

SYMBOLEN OP STICKERS

BIJLAGE A

Symbol	Betekenis
	Fabrikant
	Geautoriseerde vertegenwoordiger in de Europese Gemeenschap
 0086	CE-conformiteitsmerkteken met de identificatie van de op de hoogte gebrachte groep die het gebruik van het merkteken goedkeurt

Outdated version. Do not use.
 Version überholt. Nicht verwenden.
 Version obsolète. Ne pas utiliser.
 Versión obsoleta. No utilizar.
 Versione obsoleta. Non utilizzate.
 Verouderde versie. Niet gebruiken.
 Föråldrad version. Använd ej.
 Παλιά έκδοση. Μην την χρησιμοποιείτε.
 Versão obsoleta. Não utilize.
 Forældet version. Må ikke anvendes.
 Zastaralá verze. Nepoužívat.
 Utdatert versjon. Skal ikke brukes.
 Zastaraná verzia. Nepoužívať.
 Elavult verzió. Ne használja!
 Wersja nieaktualna. Nie używać.

Outdated version. Do not use.
Version überholt. Nicht verwenden.
Version obsolète. Ne pas utiliser.
Versión obsoleta. No utilizar.
Versione obsoleta. Non utilizzare.
Verouderde versie. Niet gebruiken.
Föråldrad version. Använd ej.
Παλιά έκδοση. Μην την χρησιμοποιείτε.
Versão obsoleta. Não utilize.
Forældet version. Må ikke anvendes.
Zastaralá verze. Nepoužívat.
Utdatert versjon. Skal ikke brukes.
Zastaraná verzia. Nepoužívať.
Elavult verzió. Ne használja!
Wersja nieaktualna. Nie używać.

Outdated version. Do not use.
Version überholt. Nicht verwenden.
Version obsolète. Ne pas utiliser.
Versión obsoleta. No utilizar.
Versione obsoleta. Non utilizzare.
Verouderde versie. Niet gebruiken.
Föråldrad version. Använd ej.
Παλιά έκδοση. Μην την χρησιμοποιείτε.
Versão obsoleta. Não utilize.
Forældet version. Må ikke anvendes.
Zastaralá verze. Nepoužívat.
Utdatert versjon. Skal ikke brukes.
Zastaraná verzia. Nepoužívať.
Elavult verzió. Ne használja!
Wersja nieaktualna. Nie używać.



Boston Scientific Corporation
4100 Hamline Avenue North
St. Paul, MN 55112-5798 USA

EC REP

Guidant Europe NV/SA; Boston Scientific
Green Square, Lambroekstraat 5D
1831 Diegem, Belgium

www.bostonscientific.com

1.800.CARDIAC (227.3422)

+1.651.582.4000

© 2015 Boston Scientific Corporation or its affiliates.

All rights reserved.

359273-026 NL Europe 2015-02

Outdated version. Do not use.
Version überholt. Nicht verwenden.
Version obsolète. Ne pas utiliser.
Versión obsoleta. No utilizar.
Versione obsoleta. Non utilizzare.
Verouderde versie. Niet gebruiken.
Föråldrad version. Använd ej.
Παλιά έκδοση. Μην την χρησιμοποιείτε.
Versão obsoleta. Não utilize.
Forældet version. Må ikke anvendes.
Zastaralá verzia. Nepoužívať.
Utdatert versjon. Skal ikke brukes.
Zastaraná verzia. Nepoužívať.
Elavult verzió. Ne használja!
Wersja nieaktualna. Nie używać.

C E0086

